

بِسْمِ اللَّهِ الرَّحْمَنِ الرَّحِيمِ



دانشکده فیزیک و مهندسی هسته‌ای

پایان‌نامه کارشناسی ارشد فیزیک هسته‌ای

بررسی محصورسازی یون در تله‌ی پنینگ و خواص کوانتومی آن

نگارنده: آیدا کلتنه‌ئی

اساتید راهنما:

دکتر مسلم سوهانی

دکتر مرتضی رفیعی

شهریور ۹۷

شماره:
تاریخ:

باسمه تعالی



مدیریت تحصیلات تکمیلی

فرم شماره (۳) صورتجلسه نهایی دفاع از پایان نامه دوره کارشناسی ارشد

با نام و یاد خداوند متعال، ارزیابی جلسه دفاع از پایان نامه کارشناسی ارشد خانم آیدا کلتی با شماره دانشجویی ۹۴۳۸۸۲۴ رشته فیزیک گرایش هسته‌ای تحت عنوان بررسی محصورسازی یون در تله یونی پنینگ و خواص کوانتومی آن که در تاریخ ۹۷/۶/۱۳ با حضور هیأت محترم داوران در دانشگاه صنعتی شاهرود برگزار گردید به شرح ذیل اعلام می‌گردد:

قبول (با درجه:)			
<input type="checkbox"/> مردود <input checked="" type="checkbox"/>			
نوع تحقیق: <input checked="" type="checkbox"/> نظری <input type="checkbox"/> عملی			
عضو هیأت داوران	نام و نام خانوادگی	مرتبه علمی	امضاء
۱- استاد راهنمای اول	دکتر مسلم سوهانی	استادیار	
۲- استاد راهنمای دوم	دکتر مرتضی رفیعی	استادیار	
۳- استاد مشاور			
۴- نماینده تحصیلات تکمیلی	دکتر سید علی حسینی منصور	استادیار	
۵- استاد ممتحن اول	دکتر احسان ابراهیمی	استادیار	
۶- استاد ممتحن دوم	دکتر مصطفی عنایستانی	استادیار	

نام و نام خانوادگی رئیس دانشکده: دکتر سعید حسامی بیله رود
تاریخ و امضاء و مهر دانشکده:



توضیح: در صورتی که کسی مردود شود حداکثر یکبار دیگر (در مدت مجاز تحصیل) می‌تواند از پایان نامه خود دفاع نماید (دفاع

مجدد نباید زودتر از ۴ ماه برگزار شود).

تقدیم به همد علم و آراش

پدر و مادر عزیزم

به پاس قلب های بزرگشان که فریادس است

و سرگردانی و ترس در پناهشان به شجاعت می کراید

به پاس محبت های بی دریغشان که فروکش نمی کند.

آن دو انسان شریف، بزرگوار و فراتر از فرشته ای که راه را به دستی به من نشان دادند و با فداکاریشان، سختی های راه را به دوش کشیدند و

سپر بلای مشکلات شدند تا من به جایگاه کنونی برسم.

پاس

شکر و قدردانی

از زحمات استاد بزرگوارم جناب دکتر مسلم سوهانی خالصانه سپاسگزارم که با قلبی آکنده از معرفت، نه تنها راهنمای من در تهیه‌ی این پایان‌نامه بودند، بلکه از محضر پر فیض ایشان بهره‌های بسیار بردم.

همچنین از دیگر استاد راهنمایم جناب دکتر مرتضی رفیعی متشکرم.

در پایان از تمام زحمات خانواده‌ی مهربانم که همیشه حامی من هستند کمال تشکر را دارم و نیز از دوستان خوبم که همراهی‌ام کردند ممنونم.

تهدنامه

اینجانب آیدا کلتھئی دانشجوی دوره کارشناسی ارشد رشته فیزیک هسته‌ای دانشکده فیزیک و مهندسی هسته‌ای دانشگاه صنعتی شاهرود نویسنده پایان‌نامه بررسی محصورسازی یون در تله‌ی پنینگ و خواص کوانتومی آن تحت راهنمایی دکتر مسلم سوهانی و دکتر مرتضی رفیعی متعهد می‌شوم.

- تحقیقات در این پایان‌نامه توسط اینجانب انجام شده است و از صحت و اصالت برخوردار است.
- در استفاده از نتایج پژوهشهای محققان دیگر به مرجع مورد استفاده استناد شده است.
- مطالب مندرج در پایان‌نامه تاکنون توسط خود یا فرد دیگری برای دریافت هیچ نوع مدرک یا امتیازی در هیچ جا ارائه نشده است.
- کلیه حقوق معنوی این اثر متعلق به دانشگاه صنعتی شاهرود می‌باشد و مقالات مستخرج با نام « دانشگاه صنعتی شاهرود » و یا « Shahrood University of Technology » به چاپ خواهد رسید.
- حقوق معنوی تمام افرادی که در به دست آمدن نتایج اصلی پایان‌نامه تأثیرگذار بوده اند در مقالات مستخرج از پایان‌نامه رعایت می‌گردد.
- در کلیه مراحل انجام این پایان‌نامه ، در مواردی که از موجود زنده (یا بافتهای آنها) استفاده شده است ضوابط و اصول اخلاقی رعایت شده است.
- در کلیه مراحل انجام این پایان‌نامه، در مواردی که به حوزه اطلاعات شخصی افراد دسترسی یافته یا استفاده شده است اصل رازداری ، ضوابط و اصول اخلاق انسانی رعایت شده است.

تاریخ

امضای دانشجو

مالکیت نتایج و حق نشر

کلیه حقوق معنوی این اثر و محصولات آن (مقالات مستخرج ، کتاب ، برنامه های رایانه ای ، نرم افزار ها و تجهیزات ساخته شده) متعلق به دانشگاه صنعتی شاهرود می‌باشد. این مطلب باید به نحو مقتضی در تولیدات علمی مربوطه ذکر شود.

استفاده از اطلاعات و نتایج موجود در پایان‌نامه بدون ذکر مرجع مجاز نمی‌باشد.

چکیده

تله‌های پتانسیلی یکی از رایج‌ترین سیستم‌ها برای گیراندازی ذرات باردار به منظور تحقیقات بنیادی و دقیق بر روی آن‌ها می‌باشد. تله‌ی پنینگ، نوعی تله‌ی پتانسیلی است که با استفاده از برهم‌نهی پتانسیل الکتریکی پایا و میدان مغناطیسی همراه با آن، گیراندازی ذرات باردار را در سه بعد فراهم می‌سازند.

از جمله کاربردهای این تله‌ها می‌توان در زمینه‌هایی همچون مطالعه و اندازه‌گیری ثابت‌های بنیادی ذرات، بررسی ترازهای انرژی، مطالعه‌ی واپاشی‌های ذرات، مطالعه‌ی برهم‌کنش ذرات باردار و اطلاعات کوانتومی اشاره نمود.

در این پایان‌نامه، به بررسی رفتار کلاسیکی الکترون و یون در یک تله‌ی پنینگ پرداخته‌ایم. مسیر حرکت الکترون، یون‌های کلسیم $^{40}_{20}\text{Ca}^+$ و $^{197}_{79}\text{Au}^+$ را تحت تاثیر میدان‌های الکتریکی و مغناطیسی تله با برنامه‌نویسی ++C محاسبه و ترسیم کرده‌ایم و میدان‌های مناسب برای گیراندازی آن‌ها، متناسب با ابعاد تله‌ی مفروض، را بدست آورده‌ایم. در ادامه گیراندازی یون در تله‌ی پنینگ از دیدگاه کوانتومی بررسی شده و استفاده از حالات کوانتومی یون برای ساخت کیوبیت‌ها مورد بررسی قرار گرفته است.

کلمات کلیدی: تله‌ی پتانسیلی، تله‌ی پنینگ، گیراندازی، کیوبیت، حالات کوانتومی.

لیست مقالات استخراج شده از پایان نامه

۱- آیدا کلتنهئی، مسلم سوهانی، مرتضی رفیعی، مطالعه‌ی کلاسیکی و کوانتومی یون در تله‌ی یونی

پنینگ، کنفرانس فیزیک ایران، دانشگاه بین المللی امام خمینی (ره)، قزوین، شهریور ۱۳۹۷.

فهرست مطالب

۱	فصل ۱: تله‌ی یونی پنینگ
۲	۱-۱ مقدمه
۳	۲-۱ تاریخچه
۴	۳-۱ تله‌ی یونی پنینگ
۶	۴-۱ فشار و گاز پس‌زمینه
۷	۵-۱ تولید یون
۸	۱-۵-۱ یونش گاز درون تله
۸	۲-۵-۱ چشمه‌ی یونی
۱۰	۶-۱ چشمه‌ی الکترونی
۱۲	۷-۱ آشکارسازی یون و الکترون درون تله
۱۴	۸-۱ میدان‌ها در تله‌ی پنینگ و محصورسازی ذرات باردار
۱۷	فصل ۲: بررسی کلاسیکی حرکت ذره در تله‌ی یونی پنینگ
۱۸	۱-۲ پتانسیل چهارقطبی الکتریکی
۲۰	۲-۲ پتانسیل و معادلات حرکت الکترون در تله‌ی یونی پنینگ
۲۲	۳-۲ پتانسیل و معادلات حرکت یون مثبت در تله‌ی پنینگ
۲۴	۴-۲ مسیر حرکت الکترون در تله‌ی یونی پنینگ
۲۷	۵-۲ مسیر حرکت یون $^{40}\text{Ca}^+$ در تله‌ی یونی پنینگ
۳۰	۶-۲ مسیر حرکت $^{197}\text{Au}^+$ در تله‌ی یونی پنینگ
۳۳	۷-۲ میدان‌های مناسب گیراندازی

فصل ۳: بررسی کوانتومی ذره در تله‌ی یونی پنینگ

۳۵

۱-۳ مقدمه ۳۶

۲-۳ کیوبیت ۳۸

۳-۳ تئوری نیمه کلاسیکی برهم‌کنش اتم-میدان ۴۱

۱-۳-۳ هامیلتونی برهم‌کنش اتم-میدان ۴۱

۲-۳-۳ برهم‌کنش یک اتم دوترازه با میدان تک مد ۴۸

۴-۳ تئوری کوانتومی برهم‌کنش اتم-میدان ۵۸

۱-۴-۳ هامیلتونی برهم‌کنش اتم-میدان ۵۹

۲-۴-۳ برهم‌کنش یک اتم دوترازه با میدان تک مد ۶۲

۵-۳ برهم‌کنش لیزر با یون $^{40}\text{Ca}^+$ ۶۹

۶-۳ جمع‌بندی ۷۱

۷۲

منابع

فهرست اشکال

- شکل ۱-۱-۱: نمایی کلی از شکل تله‌های یونی پائول و پنینگ ۲
- شکل ۱-۲-۱: برندگان جایزه نوبل فیزیک در سال ۱۹۸۹ ۳
- شکل ۱-۳-۱: الف) طرحواره تله‌ی یونی پنینگ ب) تله‌ی یونی پنینگ با برش بخشی از آن ۴
- شکل ۲-۳-۱: تله‌ی یونی پنینگ ساخته شده در مرکز ماکس پلانک آلمان ۵
- شکل ۱-۴-۱: محفظه‌ی خلاء ۶
- شکل ۱-۵-۱: ساختار کلی چشمه‌ی یونی ۹
- شکل ۱-۶-۱: طرحواره‌ی الکترودهای تله‌ی یونی پنینگ برای ورود الکترون‌ها ۱۱
- شکل ۲-۶-۱: الکترودهای تله‌ی یونی پنینگ و اندازه آن در مقایسه با سکه ۱۱
- شکل ۱-۷-۱: نمایی از جمع کننده فارادی ۱۲
- شکل ۲-۷-۱: تکثیرکننده الکترونی ۱۳
- شکل ۳-۷-۱: آشکارسازهای مدار تشدید RCL ۱۳
- شکل ۴-۷-۱: آشکارسازی یون محبوس در تله‌ی یونی توسط باریکه لیزری ۱۴
- شکل ۱-۸-۱: طرحواره‌ی میدان الکتریکی و مغناطیسی در تله‌ی یونی پنینگ ۱۵
- شکل ۲-۸-۱: طرحواره‌ی ایجاد میدان الکتریکی و مغناطیسی در تله‌ی پنینگ ۱۵
- شکل ۳-۸-۱: الف) سه حرکت هارمونیک ذره‌ی باردار درون تله ب) حرکت سه بعدی ذره‌ی باردار محصور شده درون تله ج) حرکت ذره‌ی باردار درون تله در صفحه x-y ۱۶
- شکل ۱-۱-۲: طرحواره‌ی تله‌ی یونی پنینگ ۱۹

- شکل ۱-۴-۲: شبیه‌سازی مسیر حرکت الکترون در تله‌ی پنینگ الف) محدوده حرکتی در راستای محور x ب) محدوده حرکتی در راستای محور y ج) محدوده حرکتی در راستای محور z د) حرکت در صفحه y-x و) حرکت در صفحه z-y ه) حرکت در صفحه z-x ۲۶
- شکل ۱-۵-۲: شبیه‌سازی مسیر حرکت یون $^{40}\text{Ca}^+$ در تله‌ی پنینگ الف) محدوده حرکتی در راستای محور x ب) محدوده حرکتی در راستای محور y ج) محدوده حرکتی در راستای محور z د) حرکت در صفحه y-x و) حرکت در صفحه z-y ه) حرکت در صفحه z-x ۲۹
- شکل ۱-۶-۲: شبیه‌سازی مسیر حرکت یون $^{197}\text{Au}^+$ در تله‌ی پنینگ الف) محدوده حرکتی در راستای محور x ب) محدوده حرکتی در راستای محور y ج) محدوده حرکتی در راستای محور z د) حرکت در صفحه y-x و) حرکت در صفحه z-y ه) حرکت در صفحه z-x ۳۲
- شکل ۱-۳-۳: برهم‌کنش یک اتم دوترانه با یک میدان تک مد ۴۸
- شکل ۱-۴-۳: رسم $p(n)$ بر حسب تعداد فوتون‌ها (n) ، برای حالت همدوس ۶۷
- شکل ۱-۵-۳: الف) ترازهای انرژی Ca^+ در غیاب میدان مغناطیسی ب) ترازهای انرژی Ca^+ در حضور میدان مغناطیسی ۷۰

فہرست جداول

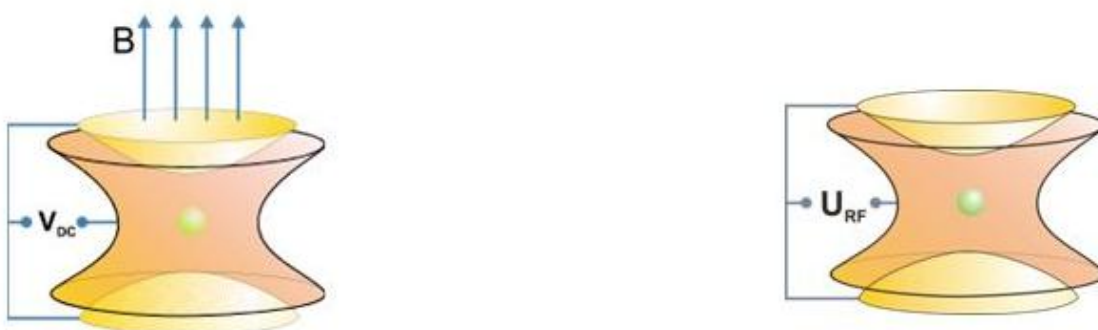
جدول ۱-۲: پتانسیل الکتریکی و میدان مغناطیسی مناسب گیراندازی ۳۳

فصل ۱ : تله ی یونی پینک

۱-۱ مقدمه

گیراندازی ذرات به عنوان یکی از کارآمدترین روش‌ها به منظور مطالعه و اندازه‌گیری‌های دقیق ویژگی‌های یون و ذرات زیراتمی باردار محسوب می‌شود [۱ و ۲]. از جمله کاربردهای آن را می‌توان، ساختن کیوبیت‌ها برای محقق‌سازی رایانه‌های کوانتومی و پردازش اطلاعات کوانتومی با استفاده از ذرات به تله افتاده، بررسی ترازهای انرژی، مطالعه و اندازه‌گیری ثابت‌های بنیادی ذرات، مطالعه‌ی واپاشی ذرات، بررسی مسیر حرکت و مطالعه‌ی معادلات حرکت ذرات باردار محصور در تله و مطالعه‌ی اندرکنش بین ذرات نام برد [۳-۵].

استفاده از پتانسیل چهارقطبی الکتریکی یکی از روش‌های گیراندازی یون‌ها و هر ذره‌ی باردار دیگری است که در این زمینه به کار گرفته می‌شود [۱]. با توجه به عدم توانایی پتانسیل الکتروستاتیکی در گیراندازی ذرات در سه بعد، این سیستم‌ها به صورت ترکیبی از پتانسیل الکتروستاتیکی و میدان مغناطیسی یکنواخت در یک راستا به عنوان تله‌های یونی پنینگ^۱ [۶] و مدلی بر اساس پتانسیل الکتریکی متناوب به عنوان تله‌های یونی پائول^۲ شناخته می‌شوند [۷]. شکل ۱-۱-۱ نمایی از این تله‌ها را نشان می‌دهد.



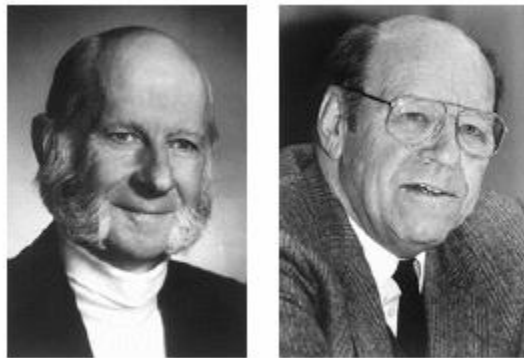
شکل ۱-۱-۱: نمایی کلی از شکل تله‌های یونی پائول (شکل سمت راست) و پنینگ (شکل سمت چپ).

^۱Penning Ion Trap

^۲Paul Ion Trap

۲-۱ تاریخچه

اولین نظریه تله‌های یونی در حدود ۱۰۰ سال پیش توسط "ولفگانگ پائول"^۱ و "هانس استین ودل"^۲ بیان شد و بعد از آن دانشمندان متعددی سال‌های زیادی در این زمینه کار کردند. "هانس دهملت"^۳ نخستین تله‌ی پنینگ را ساخته و نام آنرا از روی نام "فرانس میشل پنینگ"^۴ برگزید. دهملت از خلاءسنج ساخته شده توسط فرانس پنینگ الهام گرفته بود. با ظهور تله‌های یونی، کاربردهای زیادی در زمینه‌ی طیف‌نگاری جرمی ذرات بازگردید و منجر به بردن جایزه نوبل فیزیک در سال ۱۹۸۹ توسط دو دانشمند "ولفگانگ پائول" و "هانس دهملت" گردید [۸۳]. شکل ۱-۲-۱.

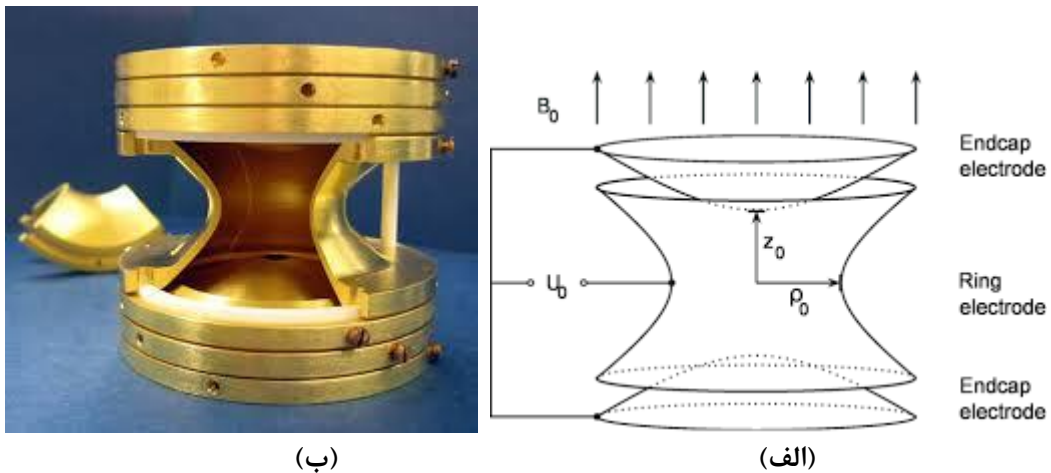


شکل ۱-۲-۱: برندگان جایزه نوبل فیزیک در سال ۱۹۸۹.
سمت راست: آقای ولفگانگ پائول. سمت چپ: آقای هانس دهملت [۱۰].

¹Wolfgang Paul
²Hans Steinwedel
³Hans Dehmelt
⁴Frans Michel Penning

۱-۳ تله یونی پنینگ

تله یونی پنینگ نوعی تله ی پتانسیلی است که برای محصورسازی ذرات باردار، جهت مطالعه و اندازه گیری های دقیق روی آنها استفاده می شود. تله ی پنینگ با استفاده از پتانسیل چهارقطبی الکتروستاتیکی و حضور میدان مغناطیسی یکنواخت بر روی سیستم، با ایجاد چاه پتانسیلی، گیراندازی سه بعدی یون را فراهم می سازد. تله ی پنینگ از میدان الکتریکی چهارقطبی پایا، برای محصورسازی ذرات در راستای محوری و از میدان مغناطیسی همگن که در مرکز و در راستای z اعمال می شود، برای محصورسازی ذرات در راستای شعاعی استفاده می کند. شکل این تله متشکل از سه الکتروود هذلولی می باشد، شامل یک الکتروود حلقوی و دو الکتروود کلاهک دار که هر سه از جنس مس می باشند و نیز جنس عایق بین الکتروودها از سرامیک بوده و الکتروودها موازی با میدان مغناطیسی تراز شده اند و درون سیستم خلاء می باشد [۳ و ۱۰]. شکل ۱-۳-۱.



شکل ۱-۳-۱: الف) طرحواره تله یونی پنینگ با سه الکتروود هذلولی، شامل یک الکتروود حلقوی و دو الکتروود کلاهک دار. ب) تله یونی پنینگ با برش بخشی از الکتروود آن.

در تله ی واقعی ایراداتی مثل شکل هذلولی ناقص و یا داشتن سوراخها و شکافهایی در الکتروودها

باعث عدم ایجاد پتانسیل متقارن و میدان مغناطیسی همگن می‌شود [۱۲].

یکی از مزیت‌های تله‌ی یونی پنینگ استفاده از میدان مغناطیسی است که در بسیاری از اندازه‌گیری‌ها و مطالعات یون‌ها از جمله اثر زیمن و اندازه‌گیری ضریب ژیرومغناطیسی ذرات باردار مورد استفاده قرار می‌گیرد. این قابلیت متمایز کننده‌ی تله‌های پنینگ از تله‌های پائول است که تنها با پتانسیل الکتریکی متناوب کار می‌کنند و بیشتر در زمینه طیف‌سنجی جرمی ذرات باردار با دقت بالا مورد استفاده قرار می‌گیرند. شکل ۱-۳-۲ نمایی از تله‌ی پنینگ ساخته شده در مرکز ماکس پلانک^۱ آلمان را نشان می‌دهد که به منظور اندازه‌گیری ضریب ژیرومغناطیسی پروتون و یون‌ها طراحی و مورد استفاده قرار گرفته است. همچنین دام پنینگ را همراه با حفظ قدرت به دام‌اندازی آن می‌توان بزرگتر نمود و بدین ترتیب یون به دام افتاده را از سطح الکترودها دور نگه داشت [۱۱].



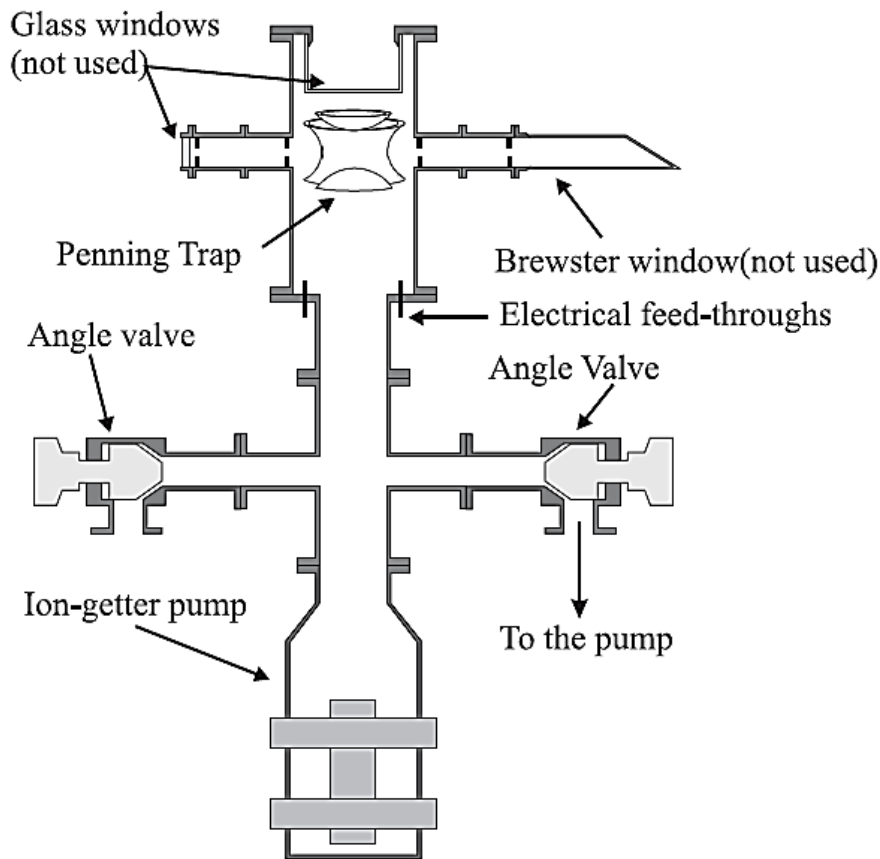
شکل ۱-۳-۲: تله‌ی یونی پنینگ ساخته شده در مرکز ماکس پلانک آلمان [۱۱].

^۱Max Plank Institute

۴-۱ فشار و گاز پس‌زمینه

عملکرد دقیق سیستم‌های گیراندازی یون و همچنین مدت زمان گیراندازی آن‌ها مستلزم خلاء مناسب فراهم شده درون سیستم است. به منظور کاهش برخوردهای یون/یون و یون/اتم میان یون‌های گیراندازی شده و اتم‌های خنثی گاز پس‌زمینه موجود در تله، فشار مناسب از مرتبه 10^{-6} mbar و کمتر (محدوده‌ی خلاء بالا و خلاء فوق‌بالا) فراهم می‌شود [۱۳].

سیستم توسط یک پمپ مولکولی توربو^۱ تخلیه شده و پس از پمپاژ اولیه، فشار توسط یک پمپ یونی^۲ حفظ می‌شود [۱۲]. (شکل ۱-۴-۱).



شکل ۱-۴-۱: محفظه‌ی خلاء [۱۲].

^۱Turbo-molecular

^۲Ion pump

یونش و طیف سنجی جرمی گاز پس زمینه انجام شده توسط رتینگ هاوس^۱ نشان دهنده حضور مولکول یونی با نسبت جرم به بار $\frac{m}{e} = 29$ در گاز پس زمینه تله‌ی یونی است که معرف مولکول COH^+ شکل گرفته در اثر برخوردهای یون-مولکول میان CO^+ و مولکول‌های هیدروکربنی موجود در گاز پس زمینه است [۱].

حضور مولکول‌های هیدروکربنی در گاز پس زمینه درون تله به علت گاز پس‌دهی دیواره‌ی داخلی محفظه خلاء است. تمیزکاری سطوح داخلی محفظه خلاء با استفاده از الکل‌هایی همچون اتانول و استون انجام می‌شود. پس از تمیزکاری تعدادی از مولکول‌های الکل بر روی سطح می‌چسبند که در خلاء بالا از آن جدا شده و وارد محیط می‌شوند. به منظور کاهش این مولکول‌های هیدروکربنی سطوح مورد نظر در حین خلاءسازی داغ می‌شوند تا مولکول‌های چسبیده به سطح جدا شده و به بیرون پمپ شوند و پس از آن سطوح دوباره سرد می‌شوند [۱].

۵-۱ تولید یون

یونش اتم‌های خنثی به منظور گیراندازی آن‌ها درون تله‌ی یونی به دو روش رایج زیر صورت می‌گیرد:

الف) یونش درون تله‌ی یونی با استفاده از برخورد شار الکترونی

این روش با تزریق گاز خنثی به درون تله‌ی یونی و سپس وارد کردن یک شار الکترونی از حفره کلاهک تله به درون آن انجام می‌گیرد که برخورد میان آن‌ها منجر به یونش اتم‌ها می‌شود [۱۴و۲].

ب) استفاده از چشمه‌های یونی و وارد کردن یون به درون تله

در این روش فرآیند یون‌سازی درون چشمه‌ی یونی انجام می‌گیرد و پس از آن با استفاده از میدان‌های الکترومغناطیسی، یون از حفره موجود در یکی از کلاهک‌های تله وارد آن می‌شود [۱۵و۹].

در ادامه این روش‌ها توضیح داده خواهند شد.

^۱Rettinghaus

۱-۵-۱ یونش گاز درون تله

در اکثر سیستم‌های طیف‌سنجی جرمی و آنالیز مولکولی تله‌های یونی، یون درون تله تولید می‌شود و مورد بررسی قرار می‌گیرد. در این روش با تزریق شار الکترون با انرژی مناسب به درون تله و اندرکنش آن با اتم‌ها و مولکول‌های خنثی موجود در تله‌ی یونی منجر به تولید گاز یونیزه می‌شود. یک مولکول خنثی در اثر اندرکنش الکترون فرودی با ابر الکترونی آن انرژی جذب می‌کند. معادله (۱-۵-۱) اندرکنش یک الکترون با انرژی ۷۰ eV را با مولکول M نشان می‌دهد. مولکول مورد نظر در طی این اندرکنش حدود ۱۴ eV انرژی جذب می‌کند که سریعاً منجر به کنده شدن یکی از الکترون‌های مداری آن با انرژی جنبشی زیر ۱ eV می‌شود. پس از آن نیز، دوباره الکترون پراکنده شده با انرژی ۵۶ eV همچنان می‌تواند با اتم‌های دیگر برخورد کرده و باعث یونیزه شدن آن‌ها شود [۱۳].



اما با توجه به انرژی متفاوت الکترون‌های مداری اتم‌ها و همچنین متفاوت بودن انرژی بستگی آن‌ها در اتم‌ها و مولکول‌های مختلف، این انرژی تبدلی ۱۴ eV در نظر گرفته شده می‌تواند متفاوت باشد و محدوده وسیعی را شامل شود. به طوری که بسته به گاز مورد نظر ممکن است یک مولکول مقدار ۳۰ eV انرژی جذب کند و یا حتی تنها ۹ eV جذب شود.

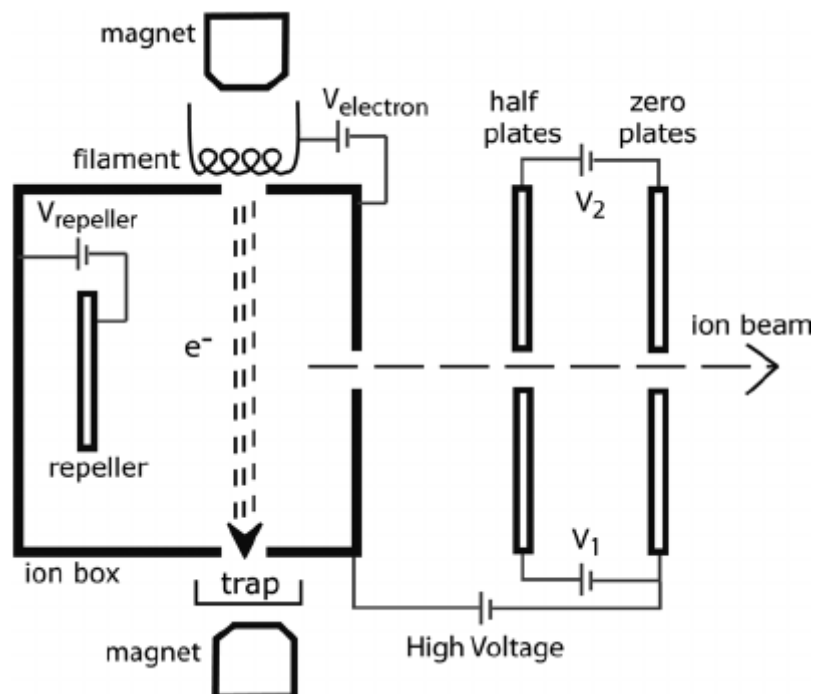
هر چه انرژی انتقال یافته از طرف الکترون فرودی به مولکول بیشتر باشد و مولکول در حالت برانگیخته بالاتری قرار گیرد این مولکول تمایل بیشتری به تکه تکه شدن و تجزیه مولکول به قسمت‌های کوچکتر دارد که کاربرد گسترده‌ای در زمینه آنالیز مولکولی و انرژی بستگی آن‌ها دارد.

۱-۵-۲ چشمه‌ی یونی

چشمه‌ی یونی به عنوان یکی دیگر از روش‌های تولید یون به منظور گیراندازی آن درون تله‌ی یونی است. در این روش نیز با استفاده از تابش شار الکترون به گاز خنثی اما اینک خارج از تله‌ی یونی منجر

به یونش اتم شده و پس از آن با استفاده از لنزهای الکتریکی یون مورد نظر از یکی از حفره‌های کلاهیک تله‌ی یونی وارد آن می‌گردد. این روش با توجه به کنترل فشار گاز چشمه‌ی یونی و تله‌ی یونی و لنزهای الکتریکی به منظور هدایت مناسب یون‌ها به درون تله، امکان گیراندازی تعداد کمی از یون‌ها حتی یک تک یون را درون تله فراهم می‌سازد.

ساختار کلی چشمه‌های یونی که در شکل ۱-۵-۱ نشان داده شده است متشکل از فیلامان کاتد داغ، آند، دفع کننده الکتریکی، آهنربا و لنزهای الکتریکی است.



شکل ۱-۵-۱: ساختار کلی چشمه‌ی یونی متشکل از فیلامان کاتد داغ، آند، دفع کننده الکتریکی، آهنربا و لنزهای الکتریکی.

عملکرد این سیستم بدین شکل است که با عبور جریانی در حد ۳ تا ۴ آمپر از فیلامان که از جنس تنگستن (دمای ذوب 3407°C و تابع کار 4.55 eV) می‌باشد این فیلامان داغ شده و شروع به تابش الکترون می‌کند و سپس با توجه به اختلاف پتانسیل بین فیلامان و محفظه چشمه، الکترون‌ها شتاب می‌گیرند. در اثر اندرکنش شار الکترونی با گاز خنثی موجود در محفظه چشمه، این اتم‌ها یونیزه شده

و توسط دفع کننده پشت آن‌ها به سمت حفره خروج از چشمه هدایت می‌شوند که پس از آن با استفاده از لنزهای الکتریکی به بیرون هدایت می‌شوند. در این سیستم‌ها محفظه چشمه نیز داغ می‌گردد تا گاز موجود درون آن روی دیواره سرد داخلی نچسبد. حضور آند برای جمع کردن الکترون‌ها و به منظور جلوگیری از کاهش شار الکترون تابشی از کاتد به کار گرفته می‌شود.

از آنجا که سطح مقطع اندرکنش الکترون با اتم‌های خنثی کم است و تنها از طریق اندرکنش با ابر الکترونی اتم‌ها تنها می‌تواند در حدود ۱ درصد از اتم‌ها را یونیزه کند حضور میدان مغناطیسی می‌تواند با افزایش طول مسیر حرکت الکترون در مسیری مارپیچی احتمال این اندرکنش را افزایش دهد. اختلاف پتانسیل بین فیلامان و محفظه چشمه‌ی یونی به منظور شتابدهی شار الکترون در حدود 70 V است [۱۳].

۱-۶ چشمه‌ی الکترونی

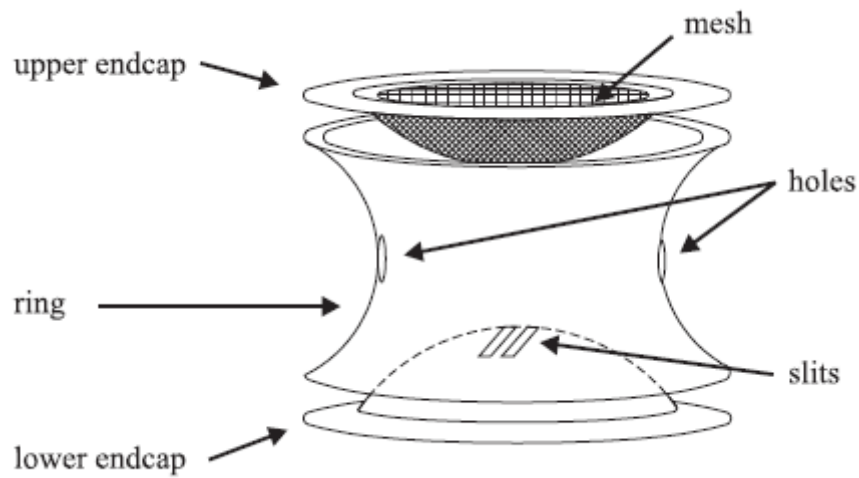
چشمه‌های الکترونی فیلامان داغ^۱ و کاتد سرد^۲ دو نمونه از متداول‌ترین چشمه‌های الکترونی به منظور گیراندازی الکترون در تله‌های چهار قطبی هستند. چشمه فیلامان داغ به عنوان یکی از ارزان‌ترین و ساده‌ترین چشمه‌های الکترونی کاربرد زیادی در زمینه گیراندازی الکترون و همچنین یونیزه کردن اتم‌ها دارد. عملکرد این چشمه به این شکل است که با عبور جریان از رشته نازک تنگستنی این رشته داغ شده و شروع به تابش الکترون می‌کند. الکترون‌ها توسط آند قرار گرفته در مجاور آن شتاب گرفته و از حفره آند خارج می‌شوند.

شکل ۱-۶-۱ طرحواره‌ای از تله‌ی پنینگ را نشان می‌دهد که در آن الکترون‌ها از درپوش بالایی که شامل یک شبکه است وارد تله می‌شوند. در یک تله‌ای که برای طیف‌نگار لیزری استفاده شده، الکتروندو حلقه دو سوراخ به قطر 4mm دارد. درپوش پایینی دو شکاف کوچکی دارد که توسط آن به یون‌ها اجازه

¹Hot Filament

²Cold Cathode

تبخیر داده می‌شود [۱۲].



شکل ۱-۶-۱: طرحواره‌ی الکترودهای تله‌ی یونی پنینگ برای ورود الکترون‌ها [۱۲].

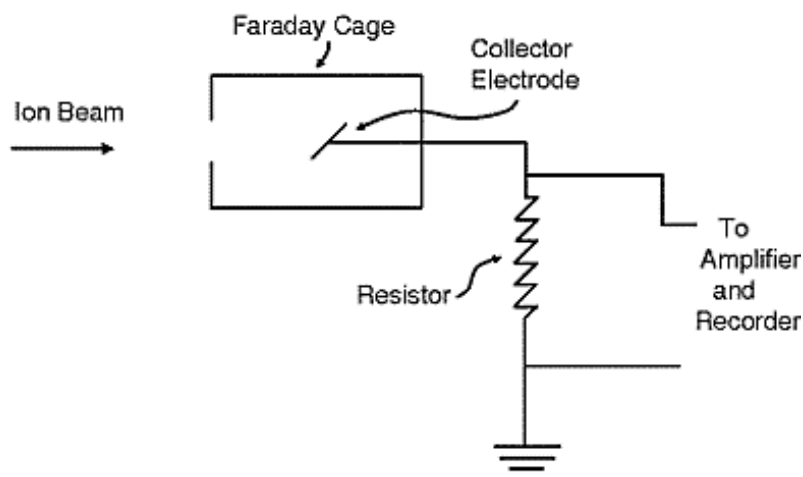


شکل ۲-۶-۱: الکترودهای تله‌ی یونی پنینگ و اندازه آن در مقایسه با سکه.

یونیزه کردن اتم‌ها و خروج یون‌ها و الکترون‌ها از تله با استفاده از سیستم‌های الکترونیکی دقیقی انجام می‌گیرد که با اعمال پالس ولتاژی در بازه زمانی از مرتبه میلی‌ثانیه و میکروثانیه به کلاهک‌ها، ورود شار الکترونی به منظور یونیزه کردن اتم‌های درون تله و همچنین خروج یون‌ها و الکترون‌ها از حفره کلاهک‌ها مورد استفاده قرار می‌گیرد [۱ و ۱۲].

۷-۱ آشکارسازی یون و الکترون درون تله

آشکارسازی یون در نمونه‌های اولیه تله‌های یونی توسط جمع‌کننده فارادی^۱ انجام می‌گرفت. در این نمونه‌ها یون خارج شده از حفره کلاهک توسط جمع‌کننده فارادی جمع می‌شود و خنثی می‌گردد و پس از آن در اثر این بار القا شده در جمع‌کننده فارادی تعداد یون‌های رسیده به جمع‌کننده فارادی برآورد می‌شود. شکل ۱-۷-۱ نمایی از جمع‌کننده فارادی مورد استفاده در آشکارسازی یون در تله‌های یونی را نشان می‌دهد [۱۳].

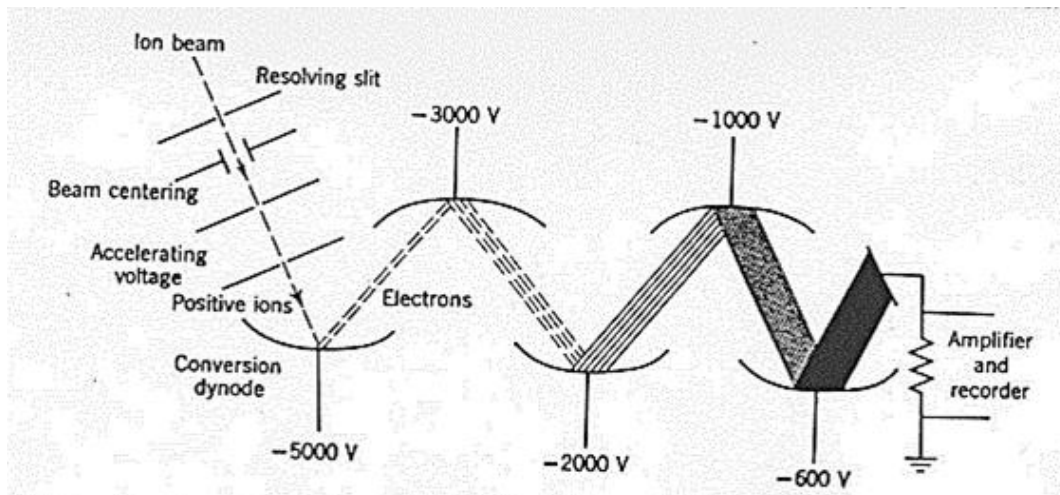


شکل ۱-۷-۱: نمایی از جمع‌کننده فارادی به منظور آشکارسازی یون خروجی از تله‌ی یونی [۱۳].

تکثیرکننده‌های الکترونی^۲ به عنوان نسل بعدی آشکارسازهای یونی بودند که دقت بالاتری نسبت به جمع‌کننده‌های فارادی داشتند. عملکرد این روش آشکارسازی نیز مستلزم بیرون کشیدن یون از درون تله‌ی یونی توسط میدان‌های الکتریکی است. شکل ۲-۷-۱ آشکارسازی یون توسط تکثیرکننده‌ی الکترونی را نشان می‌دهد [۱۳].

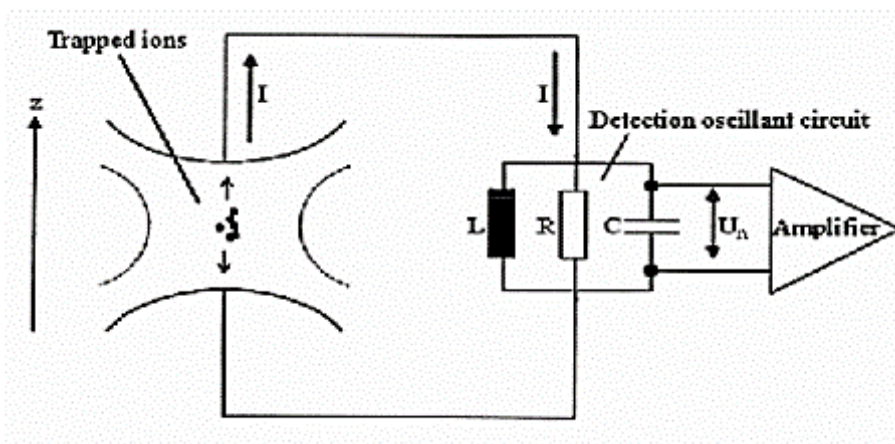
^۱Faraday Cup Collector

^۲Electron Multiplier



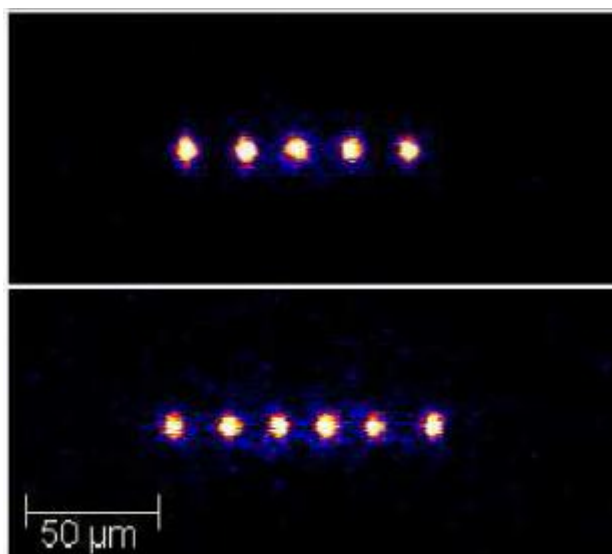
شکل ۱-۷-۲: تکثیرکننده الکترونی مورد استفاده در آشکارسازی یون بیرون کشیده شده از تله [۱۳].

مدارهای تشدید RCL که یک روش آشکارسازی غیر مخرب است، یکی از دقیق‌ترین روش‌های آشکارسازی یون به دام افتاده درون تله‌ی یونی شناخته می‌شوند که بدون نیاز به بیرون کشیدن یون از درون تله‌ی یونی و تنها با استفاده از آشکارسازی بار تصویری القا شده روی کلاهک‌ها در اثر نوسان یون محصور شده کار می‌کند. این سیستم‌ها قابلیت فوق‌العاده بالایی در آشکارسازی حتی یک تک یون محبوس شده درون تله را در دمای پایین دارا هستند. شکل ۱-۷-۳ نمونه‌ای از مدارهای RCL متصل به کلاهک را نشان می‌دهد.



شکل ۱-۷-۳: آشکارسازهای مدار تشدید RCL متصل به کلاهک [۱۳].

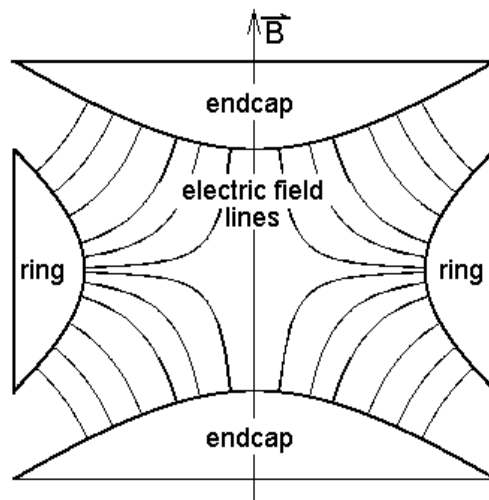
روش دیگر آشکارسازی یون درون تله‌ی یونی و حتی اندازه‌گیری انرژی و تکانه یون محبوس در تله‌ی یونی استفاده از باریکه لیزرهای تکفام است که با تابش لیزر به یون محبوس در تله‌ی یونی و برانگیختگی آن و پس از آن آشکارسازی فوتون باز نشر شده از آن انجام می‌گیرد. شکل ۱-۷-۴ نمونه‌ای از آشکارسازی یون‌های محبوس در تله‌ی یونی را نشان می‌دهد.



شکل ۱-۷-۴: آشکارسازی یون محبوس در تله‌ی یونی توسط باریکه لیزری [۱۳].

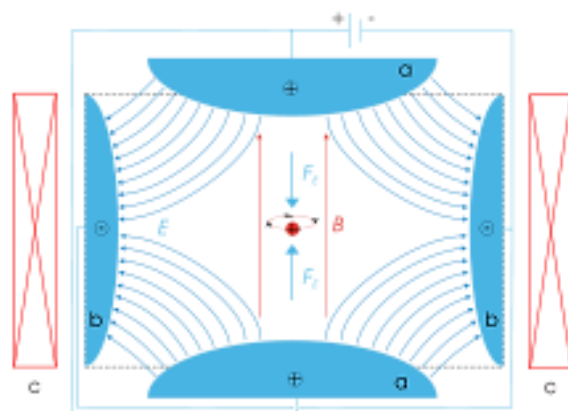
۱-۸ میدان‌ها در تله‌ی پنینگ و محصورسازی ذرات باردار

تله‌ی پنینگ از میدان الکتریکی چهارقطبی پایا، برای محصورسازی ذرات در راستای محوری و از میدان مغناطیسی همگن که در مرکز و در راستای z اعمال می‌شود، برای محصورسازی ذرات در راستای شعاعی استفاده می‌کند (شکل ۱-۸-۱).



شکل ۱-۸-۱: طرحواره‌ی میدان الکتریکی و مغناطیسی در تله‌ی یونی پنینگ [۳].

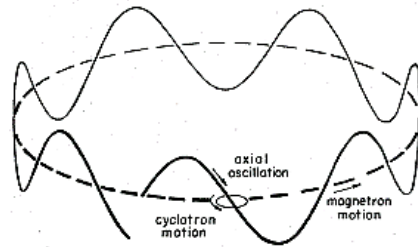
اختلاف پتانسیل الکتریکی بین حلقه و کلاهک‌ها که با استفاده از ولتاژهای DC اعمال می‌شود یک میدان الکتریکی ایجاد می‌کند که باعث گیراندازی یون در راستای محوری z می‌شود. برای به دام انداختن یون‌های مثبت (منفی)، الکترودهای کلاهک‌دار نسبت به الکترودهای حلقوی در پتانسیل مثبت (منفی) قرار می‌گیرند. میدان مغناطیسی اعمالی توسط سیم‌پیچ در راستای z و در مرکز تله، امکان محصورسازی یون در راستای شعاعی را فراهم می‌کند، که نهایتاً منجر به محصورسازی سه بعدی یون درون تله می‌شود [۹ و ۱۰ و ۱۲] (شکل ۱-۸-۲).



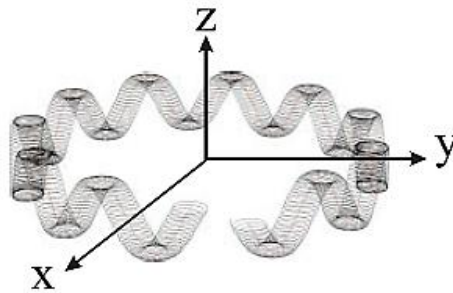
شکل ۲-۸-۱: طرحواره‌ی ایجاد میدان الکتریکی و مغناطیسی و گیراندازی یون مثبت در تله‌ی پنینگ.

حرکت مداری ذرات باردار درون یک تله‌ی پنینگ ترکیبی از سه حرکت هارمونیک جداست؛ یک حرکت محوری در جهت Z و دو حرکت در صفحه‌ی شعاعی به نام‌های مگنترونی و حرکت سیکلوترونی

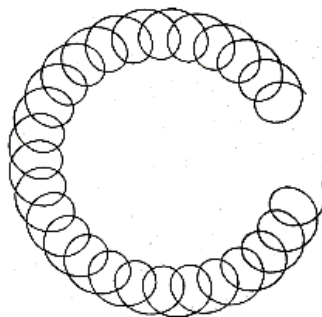
[۳] شکل (۱-۸-۳).



(الف)



(ب)



(ج)

شکل (۱-۸-۳: الف) سه حرکت هارمونیک محوری، سیکلوترونی و مگنترونی ذره‌ی باردار درون تله‌ی پنینگ [۳]. (ب) حرکت سه بعدی ذره‌ی باردار محصور شده درون تله‌ی پنینگ [۱۲]. (ج) حرکت ذره‌ی باردار درون تله‌ی پنینگ در صفحه $x-y$ [۳].

فصل ۲: بررسی کلاسیکی حرکت ذره در تله‌ی یونی پنینگ

۲-۱ پتانسیل چهارقطبی الکتریکی

اصطلاح چهارقطبی در سیستم‌های تله‌ی یونی برگرفته از این مفهوم است که پتانسیل در هر نقطه درون آن‌ها وابسته به مجذور فاصله از مرجع مورد نظر است. دلیل انتخاب این پتانسیل چهارقطبی در سیستم‌های گیراندازی یون به منظور دستیابی به نیروی بازگرداننده خطی وارد بر یون محصور شده در تله است که از این پتانسیل چهارقطبی نشات می‌گیرد. این نیروی خطی وارد بر یون از قدرت بازگرداندگی بیشتری در مرکز تله برخوردار است و همچنین معادلات حرکتی آن بسیار ساده‌تر خواهد بود. در واقع پتانسیل‌های مرتبه بالاتر دارای نیروی بازگرداندگی ضعیف‌تری نسبت به پتانسیل چهارقطبی هستند و همچنین معادلات حرکتی بدست آمده از آن‌ها دارای پیچیدگی بیشتری خواهد بود [۱۶ و ۱۷].

در حالت کلی، پتانسیل در هر نقطه داخل دستگاه‌های تله‌ی یونی چهارقطبی در مختصات دکارتی به شکل زیر است [۱]:

$$\phi_{x,y,z} = A(\lambda x^2 + \sigma y^2 + \gamma z^2) + C \quad (2-1-1)$$

که A ثابت مستقل از x, y, z بوده و وابسته به اختلاف پتانسیل الکتریکی بین الکترودها است؛ C یک جمله‌ی پتانسیل ثابت و ثابت‌های λ, σ, γ به ترتیب ضرایب وزنی مرتبط با x, y, z هستند.

با توجه به صفر بودن چگالی بار در محیط ($\rho = 0$) از معادله‌ی لاپلاس خواهیم داشت:

$$\nabla^2 \phi_{x,y,z} = 0 \quad (2-1-2)$$

$$\nabla^2 \phi_{x,y,z} = \frac{\partial^2 \phi}{\partial x^2} + \frac{\partial^2 \phi}{\partial y^2} + \frac{\partial^2 \phi}{\partial z^2} = 0$$

مشتق پاره‌ای در راستای x برابر است با:

$$\frac{\partial \phi}{\partial x} = \frac{\partial}{\partial x} (A \lambda x^2) = 2A \lambda x \quad (2-1-3)$$

$$\frac{\partial^2 \phi}{\partial x^2} = 2A \lambda$$

و به همین صورت برای دو راستای دیگر خواهیم داشت:

$$\frac{\partial^2 \phi}{\partial y^2} = 2A\sigma \quad \text{و} \quad \frac{\partial^2 \phi}{\partial z^2} = 2A\gamma \quad (4-1-2)$$

که در نهایت معادله‌ی (۲-۱-۲) به صورت زیر خواهد شد:

$$\nabla^2 \phi_{x,y,z} = A(2\lambda + 2\sigma + 2\gamma) = 0 \quad (5-1-2)$$

در معادله‌ی (۵-۱-۲) واضح است که به ازای A مخالف صفر خواهیم داشت: $(\lambda + \sigma + \gamma) = 0$ که در ساده‌ترین و کلی‌ترین انتخاب برای تله‌ی یونی چهارقطبی، این سه ضریب به شکل $(\lambda = \sigma = 1)$ و $(\gamma = -2)$ هستند.

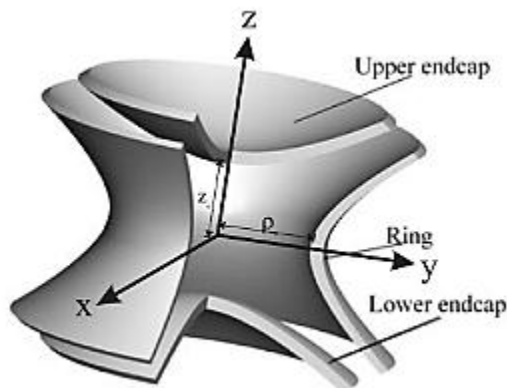
بنابراین شکل پتانسیل معادله‌ی (۱-۱-۲) به شکل زیر می‌شود:

$$\phi_{x,y,z} = A(x^2 + y^2 - 2z^2) + C \quad (6-1-2)$$

که ثابت‌های A و C با توجه به شرایط مرزی مسئله تعیین می‌شوند.

از طرفی V_0 اختلاف پتانسیل بین الکترودهای حلقه و کلاهک می‌باشد که به صورت زیر است:

$$V_0 = \phi_{ring} - \phi_{endcap} \quad (7-1-2)$$



شکل ۱-۲-۱: طرحواره‌ی تله‌ی یونی پنینگ (Z_0 نصف فاصله‌ی بین الکترودهای کلاهک‌دار و ρ_0 کوتاه-ترین فاصله تا الکترودهای حلقوی و شعاع تله است) [۱۲].

می آوریم: ϕ_{ring} و ϕ_{endcap} را با توجه به مختصات الکترودها در شکل (۱-۱-۲) از معادله‌ی (۶-۱-۲) بدست

$$\phi_{ring} = \phi_{0,\rho_0,0} = A\rho_0^2 + C \quad (۸-۱-۲)$$

$$\phi_{endcap} = \phi_{0,0,z_0} = A(-2z_0^2) + C$$

بنابراین از تفاضل آن‌ها خواهیم داشت:

$$V_0 = \phi_{ring} - \phi_{endcap} = A\rho_0^2 - A(-2z_0^2) = A(\rho_0^2 + 2z_0^2) \quad (۹-۱-۲)$$

از این رو ثابت A برابر می‌شود با:

$$A = \frac{V_0}{\rho_0^2 + 2z_0^2} \quad (۱۰-۱-۲)$$

بنابراین شکل پتانسیل معادله‌ی (۶-۱-۲) به صورت زیر می‌شود:

$$\phi_{x,y,z} = \frac{V_0}{\rho_0^2 + 2z_0^2} (x^2 + y^2 - 2z^2) + C \quad (۱۱-۱-۲)$$

۲-۲ پتانسیل و معادلات حرکت الکترون در تله‌ی یونی پنینگ

همانطور که در فصل اول توضیح دادیم برای به دام انداختن ذرات با بار منفی، الکترودهای کلاهدار

نسبت به الکترودهای حلقوی در پتانسیل منفی قرار می‌گیرند. بنابراین در معادله‌ی (۷-۱-۲)، $V_0 > 0$

می‌شود.

برای الکترون پتانسیلی به شکل زیر در نظر می‌گیریم [۱۲] که همان معادله‌ی (۱۱-۱-۲) با شرط

$$z_0^2 = \frac{\rho_0^2}{2} \text{ می‌باشد که } C=0 \text{ و } V_0 > 0 \text{ است:}$$

$$\phi = V_0(x^2 + y^2 - 2z^2) / (2\rho_0^2) \quad (۱-۲-۲)$$

که در آن x, y, z مکان اولیه‌ی الکترون است.

$\phi_{ring} - \phi_{endcap} = V_0$ از طرفی طبق رابطه‌ی (۷-۱-۲) می‌دانیم که:

ϕ_{ring} و ϕ_{endcap} را از معادله‌ی (۱-۲-۲) بدست می‌آوریم:

$$\begin{aligned}\phi_{ring} &= \phi_{0,\rho_0,0} = V_0 \rho_0^2 / 2\rho_0^2 \\ \phi_{endcap} &= \phi_{0,0,z_0} = V_0 (-2z_0^2) / 2\rho_0^2\end{aligned}\quad (۲-۲-۲)$$

بنابراین از تفاضل این دو خواهیم داشت:

$$\phi_{ring} - \phi_{endcap} = \frac{V_0}{2} + \frac{V_0 z_0^2}{\rho_0^2} = V_0 \left(\frac{1}{2} + \frac{z_0^2}{\rho_0^2} \right) \quad (۳-۲-۲)$$

از برابری معادله (۷-۱-۲) و (۳-۲-۲) خواهیم داشت:

$$V_0 = V_0 \left(\frac{1}{2} + \frac{z_0^2}{\rho_0^2} \right) \rightarrow z_0^2 = \frac{\rho_0^2}{2} \quad (۴-۲-۲)$$

که رابطه‌ی (۴-۲-۲) همان شرط اولیه‌ای است که در نظر گرفتیم و درستی آن را نشان دادیم.

میدان الکتریکی از روابط زیر بدست می‌آید:

$$E = -\nabla\phi \quad (۵-۲-۲)$$

با جای‌گذاری پتانسیل از رابطه‌ی (۱-۲-۲) داریم:

$$\begin{aligned}E &= \frac{-V_0}{2\rho_0^2} (2x\hat{i} + 2y\hat{j} - 4z\hat{k}) \\ \rightarrow E_x &= \frac{-V_0 x}{\rho_0^2}, E_y = \frac{-V_0 y}{\rho_0^2}, E_z = \frac{2V_0 z}{\rho_0^2}\end{aligned}\quad (۶-۲-۲)$$

و میدان مغناطیسی نیز در تله‌ی یونی پنینگ به شکل زیر است:

$$B = B_z \quad (۷-۲-۲)$$

نیروی لورنتس وارد بر ذره‌ی باردار به شکل زیر می‌باشد:

$$F = q(E + v \times B) \quad (۸-۲-۲)$$

که در آن q بار ذره و v سرعت اولیه ذره می‌باشد که از انرژی اولیه ذره به صورت زیر محاسبه

می‌شود:

$$k = \frac{1}{2}mv^2 \rightarrow v = \sqrt{2k/m} \quad (9-2-2)$$

با توجه به اینکه سرعت اولیه در چه راستایی اعمال شود، سه مولفه برای آن خواهیم داشت. در اینصورت با استفاده از معادله‌ی (۷-۲-۲) داریم:

$$v \times B = v_x B_z \hat{i} - v_x B_z \hat{j} \quad (10-2-2)$$

از این رو مولفه‌های نیرو را با توجه به معادله‌ی (۸-۲-۲) می‌نویسیم:

$$\begin{aligned} F_x &= q(E_x + v_x B_z) \\ F_y &= q(E_y - v_x B_z) \\ F_z &= qE_z \end{aligned} \quad (11-2-2)$$

اکنون با محاسبه‌ی شتاب در هر راستا می‌توان مسیر حرکت ذره را در سه بعد با استفاده از معادله‌ی حرکت یافت:

$$a = F/m \quad (12-2-2)$$

$$\rightarrow a_x = F_x/m, \quad a_y = F_y/m, \quad a_z = F_z/m$$

بنابراین با محاسبه‌ی نیروی وارده از طرف میدان‌های الکتریکی و مغناطیسی به الکترون و بدست آوردن شتاب آن می‌توان مسیر حرکت الکترون به تله افتاده را با توجه به سرعت و مکان اولیه و جرم آن بدست آورد.

۳-۲ پتانسیل و معادلات حرکت یون مثبت در تله‌ی پنینگ

همانطور که در فصل اول توضیح دادیم برای به دام انداختن یون‌های مثبت، الکترودهای کلاهدار نسبت به الکترودهای حلقوی در پتانسیل مثبت قرار می‌گیرند. بنابراین در معادله‌ی (۷-۱-۲)، $V_0 < 0$ می‌شود.

برای یون مثبت پتانسیلی به شکل زیر در نظر می‌گیریم [۱۸] که همان معادله‌ی (۱۱-۱-۲) با $C=0$

و $V_0 < 0$ است که علامت منفی V_0 را اعمال کردیم:

$$\phi = V_0(2z^2 - x^2 - y^2) / (2z_0^2 + \rho_0^2) \quad (1-3-2)$$

که در آن x, y, z مکان اولیه یون است.

همانند بخش قبل میدان الکتریکی از روابط زیر بدست می آید:

$$E = -\nabla\phi$$

با جای گذاری پتانسیل از رابطه ی (1-3-2) داریم:

(2-3-2)

$$E = \frac{-V_0}{2z_0^2 + \rho_0^2} (-2x\hat{i} - 2y\hat{j} + 4z\hat{k})$$

$$\rightarrow E_x = \frac{2V_0x}{2z_0^2 + \rho_0^2}, E_y = \frac{2V_0y}{2z_0^2 + \rho_0^2}, E_z = \frac{-4V_0z}{2z_0^2 + \rho_0^2}$$

همانطور که گفتیم میدان مغناطیسی در تله ی یونی پنینگ به شکل زیر است:

$$B = B_z$$

برای یون مثبت نیز همانند بخش قبل و با توجه به معادلات (7-2-2) تا (12-2-2)، مسیر حرکت

بدست می آید.

این کار برای الکترون¹، یون کلسیم² ($^{40}\text{Ca}^+$) و یون طلا³ ($^{197}\text{Au}^+$)، با استفاده از زبان برنامه نویسی

C++ و با گام زمانی ۱ نانوثانیه انجام شد که نتایج آن در بخش های بعدی رسم شده است.

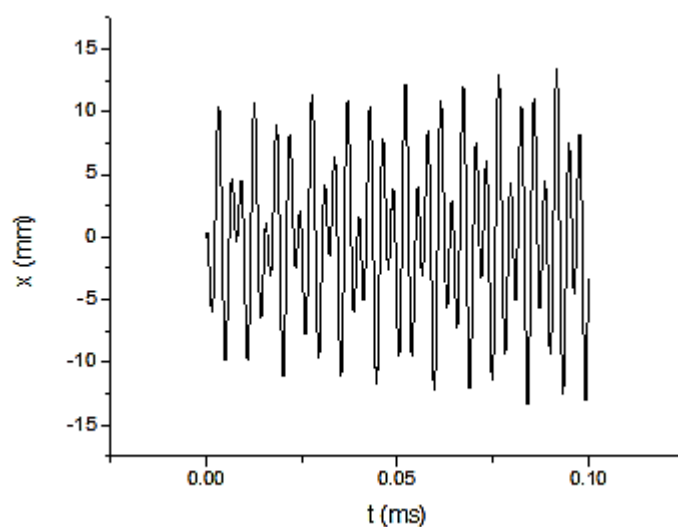
¹Electron

²Calcium ion (1+)

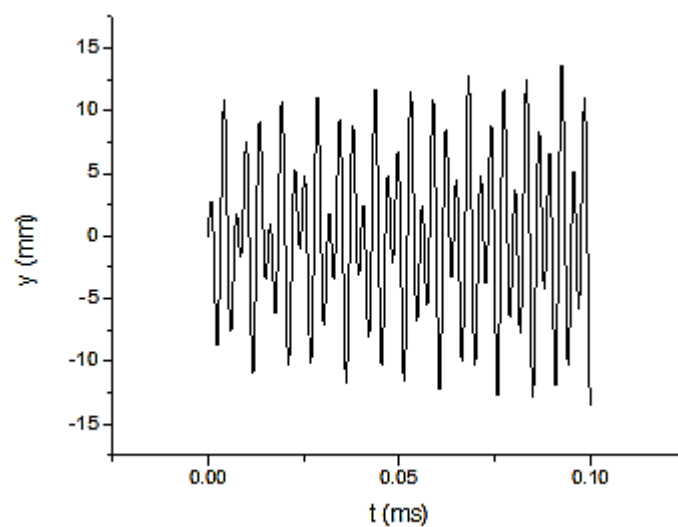
³Gold ion (1+)

۲-۴ مسیر حرکت الکترون در تله‌ی یونی پنینگ

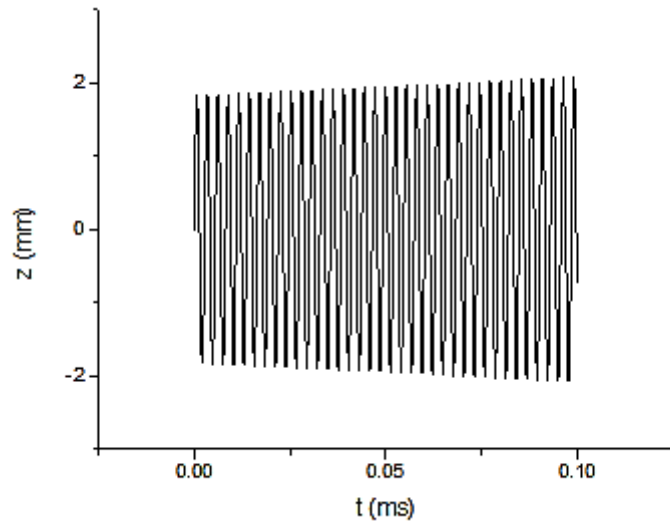
حرکت الکترون با انرژی اولیه 0.0001 الکترون ولت در تله‌ای به شعاع 2 سانتی‌متر و تحت میدان مغناطیسی 0.19 گاوس و اختلاف پتانسیل 0.006 ولت با نرم‌افزار Origin رسم شده و در شکل ۲-۴-۱ نشان داده شده است.



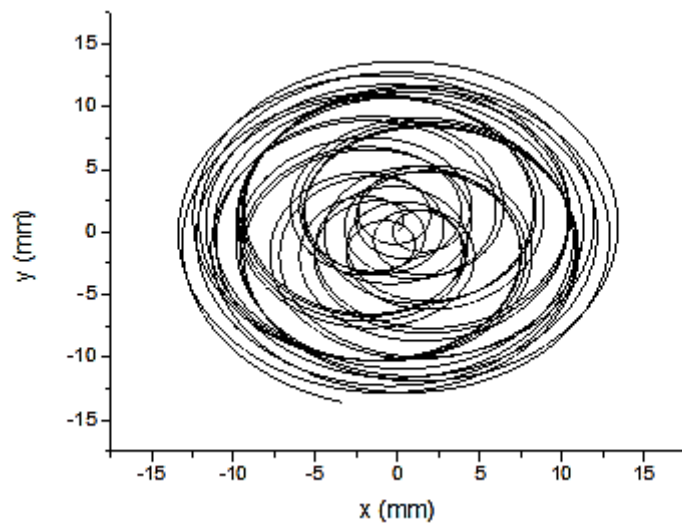
(الف)



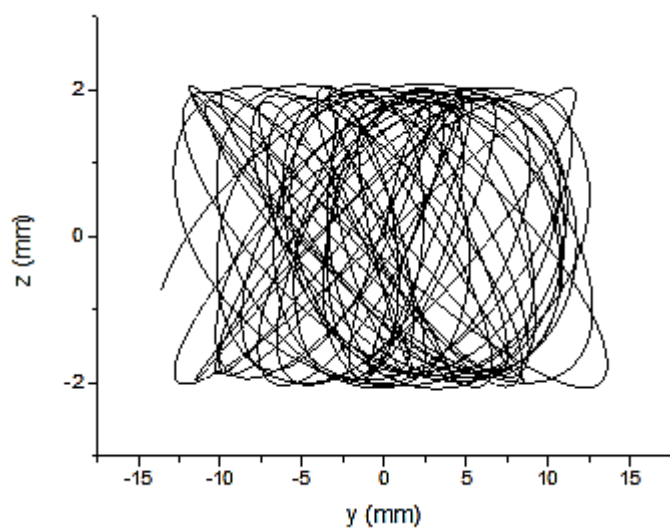
(ب)



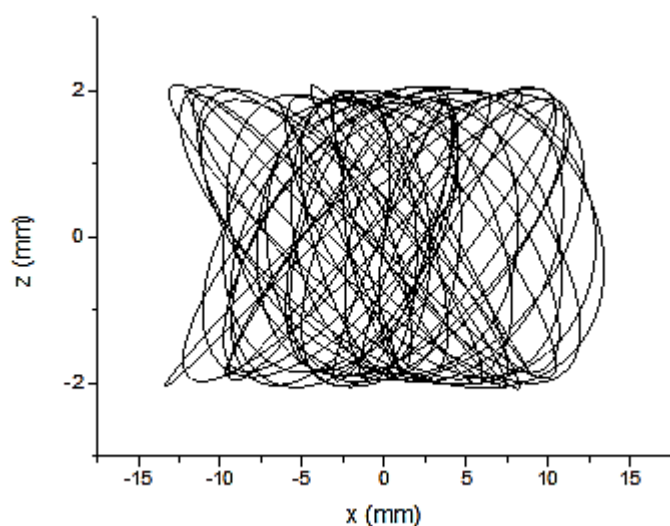
(c)



(d)



(و)

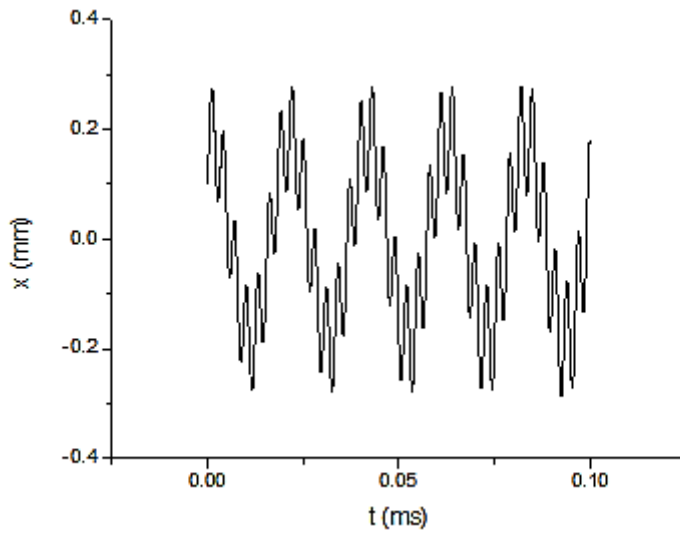


(ه)

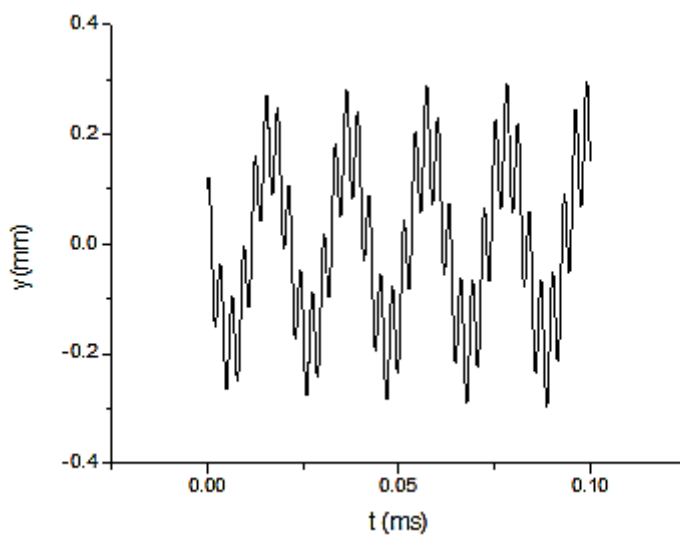
شکل ۲-۴-۱: شبیه‌سازی مسیر حرکت الکترون در تله‌ی یونی پنینگ به ازای میدان مغناطیسی ۰/۱۹ گاوس و اختلاف پتانسیل ۰/۰۰۶ ولت. الف) محدوده حرکتی در راستای محور x بر حسب زمان. ب) محدوده حرکتی در راستای محور y بر حسب زمان. ج) محدوده حرکتی در راستای محور z بر حسب زمان. د) حرکت در صفحه $y-x$ (و) حرکت در صفحه $z-y$ (ه) حرکت در صفحه $z-x$.

۲-۵ مسیر حرکت یون $^{40}\text{Ca}^+$ در تله‌ی یونی پنینگ

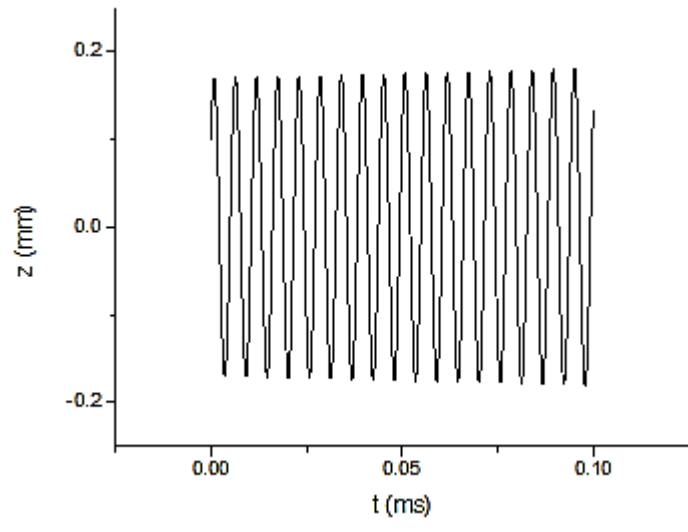
حرکت $^{40}\text{Ca}^+$ با انرژی اولیه 0.1 الکترون ولت در تله‌ای به شعاع 2 سانتی‌متر و تحت میدان مغناطیسی 1 تسلا و اختلاف پتانسیل 160 ولت با نرم‌افزار Origin رسم شده و در شکل ۲-۵-۱ نشان داده شده است.



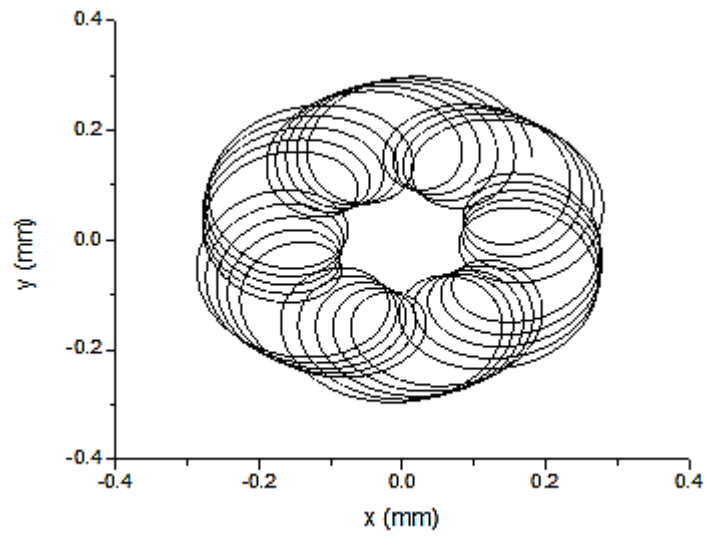
(الف)



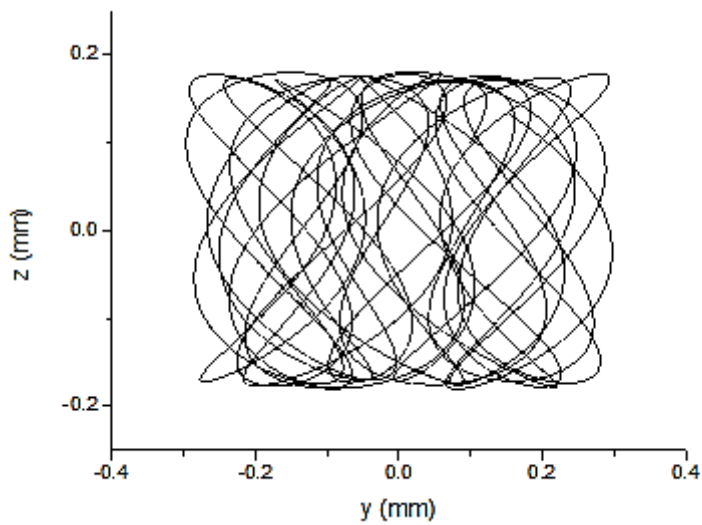
(ب)



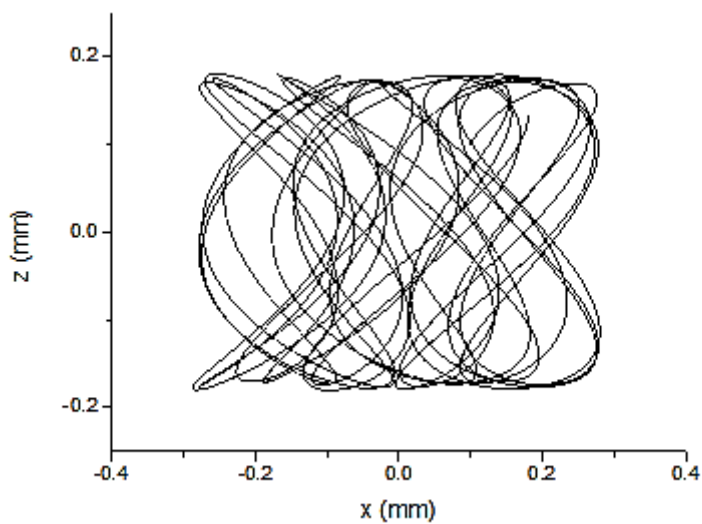
(c)



(d)



(و)



(ه)

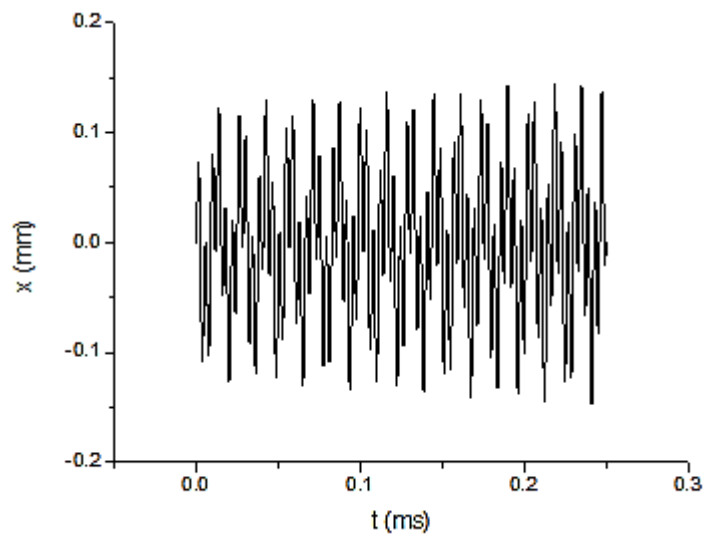
شکل ۲-۵-۱: شبیه‌سازی مسیر حرکت یون $^{40}\text{Ca}^+$ در تله‌ی یونی پنینگ به ازای میدان مغناطیسی ۱ تسلا و اختلاف پتانسیل ۱۶۰ ولت. الف) محدوده حرکتی در راستای محور x بر حسب زمان. ب) محدوده حرکتی در راستای محور y بر حسب زمان. ج) محدوده حرکتی در راستای محور z بر حسب زمان. د) حرکت در صفحه $y-x$. و) حرکت در صفحه $z-y$. ه) حرکت در صفحه $z-x$.

۲-۶ مسیر حرکت $^{197}\text{Au}^+$ در تله‌ی یونی پنینگ

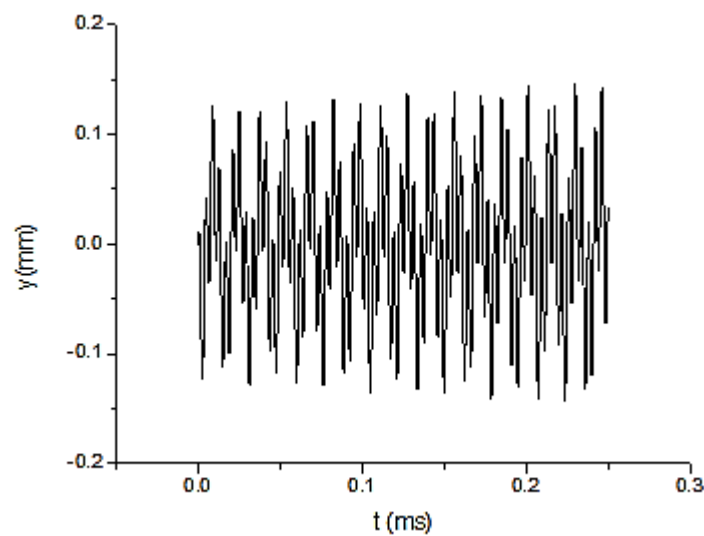
حرکت $^{197}\text{Au}^+$ با انرژی اولیه 0.1 الکترون ولت در تله‌ای به شعاع 2 سانتی‌متر و تحت میدان

مغناطیسی 4 تسلا و اختلاف پتانسیل 800 ولت با نرم‌افزار Origin رسم شده و در شکل ۲-۶-۱ نشان

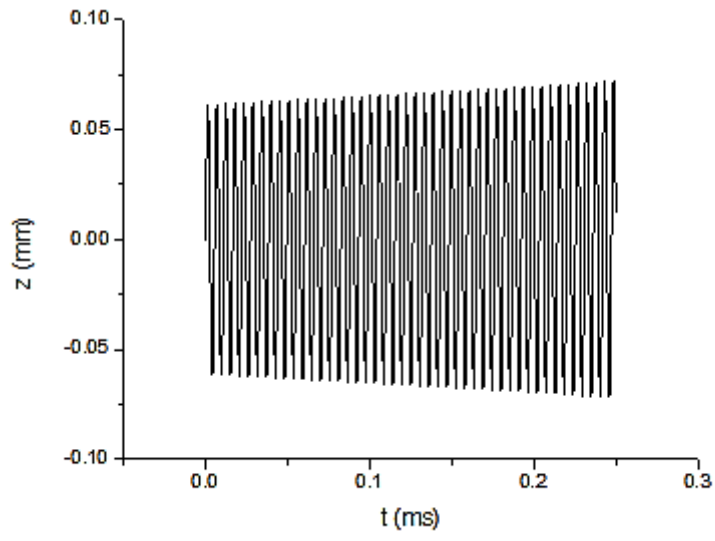
داده شده است.



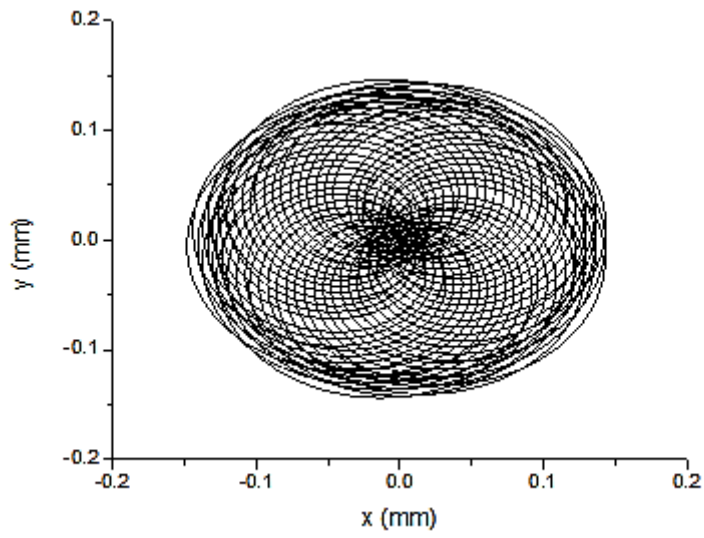
(الف)



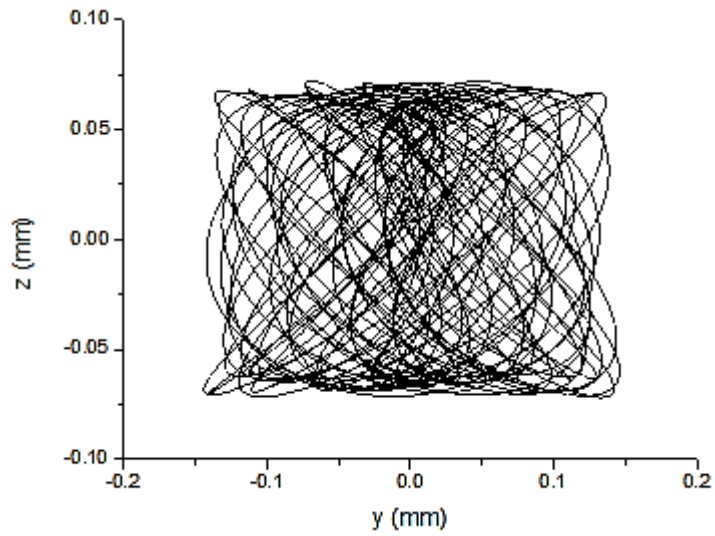
(ب)



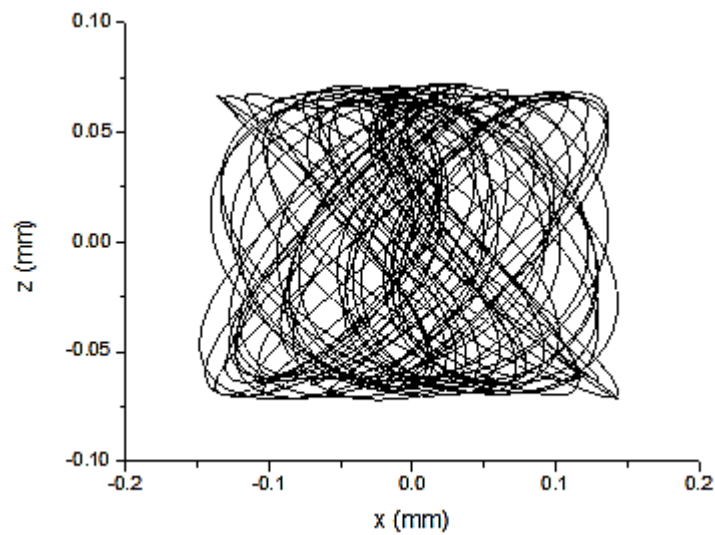
(c)



(d)



(و)



(ه)

شکل ۲-۶-۱: شبیه‌سازی مسیر حرکت یون $^{197}\text{Au}^+$ در تله‌ی یونی پنینگ به ازای میدان مغناطیسی ۴ تسلا و اختلاف پتانسیل ۸۰۰ ولت. الف) محدوده حرکتی در راستای محور x بر حسب زمان. ب) محدوده حرکتی در راستای محور y بر حسب زمان. ج) محدوده حرکتی در راستای محور z بر حسب زمان. د) حرکت در صفحه $y-x$. و) حرکت در صفحه $z-y$. ه) حرکت در صفحه $z-x$.

۷-۲ میدان‌های مناسب گیراندازی

برای تله‌ای به ابعاد $\rho_0 = 2\text{cm}$ و $z_0 = 2\text{cm}$ با استفاده از برنامه‌نویسی C++ بررسی شد که برای اختلاف پتانسیل در محدوده‌ی ۳۰ تا ۲۰۰ ولت و میدان مغناطیسی در محدوده‌ی ۱ تا ۱۰۰ گاوس، به ازای کدام اختلاف پتانسیل‌ها و میدان‌ها می‌توان ۳ ذره‌ی الکترون، یون کلسیم و یون طلا را گیراندازی کرد و زمان گیراندازی آن‌ها چه مقدار می‌باشد که نتایج آن در جدول ۱-۲ آورده شده است.

جدول ۱-۲: پتانسیل الکتریکی و میدان مغناطیسی مناسب گیراندازی در محدوده‌ی معین برای ۳ ذره.

ذرات به دام افتاده	انرژی اولیه (eV)	گام زمانی (s)	زمان گیراندازی (ms)	میدان مغناطیسی (G)	اختلاف پتانسیل (V)
الکترون	۰/۰۱	10^{-10}	10^{-2}	۷	۳۱
				۷	۳۲
				۷	۳۳
${}_{20}^{40}\text{Ca}^+$	۰/۰۱	10^{-10}	10^{-2}	۱-۱۰۰	۳۰-۶۵
				۱-۸۱	۶۶
				۱-۵۰	۶۷
				۱-۲۲	۶۸
${}_{79}^{197}\text{Au}^+$	۰/۰۱	10^{-10}	10^{-2}	۱-۱۰۰	۳۰-۲۰۰

همانطور که در جدول نشان داده شده، برای هر ۳ ذره، انرژی اولیه ۰/۰۱ الکترون ولت و گام زمانی 10^{-10} ثانیه در نظر گرفته شده است که در محدوده‌ی اختلاف پتانسیل و میدان مغناطیسی که تعیین کردیم، به ازای مقادیر مشخص در جدول، ذرات به مدت 10^{-2} میلی ثانیه در تله گیراندازی شدند.

فصل ۳ : بررسی کوانتومی ذره در تله‌ی یونی پهنک

۳-۱ مقدمه

در این فصل ضمن بررسی رفتار یک یون گیراندازی شده در تله‌ی پنینگ، حالات کوانتومی ایجاد شده در این سیستم و امکان استفاده از این حالات در محاسبات کوانتومی بررسی می‌شود. برای این کار به بررسی برهم‌کنش اتم-میدان در قالب دو نظریه‌ی کوانتومی و نیمه کلاسیکی می‌پردازیم تا با استفاده از آن یون گیراندازی شده در تله‌ی پنینگ را از دیدگاه کوانتومی بررسی کنیم و همچنین کاربرد آن در ساخت کیوبیت‌ها را که اساس کار کامپیوترهای کوانتومی هستند، توضیح دهیم.

دنیای کنونی فیزیک را می‌توان به دو بخش عمده تقسیم کرد؛ یکی فیزیک کلاسیک و دیگری فیزیک کوانتوم. منظور از فیزیک کلاسیک مجموعه‌ای از قوانین و روابط فیزیکی است که تقریباً تا اوایل قرن بیستم بدست آمده بود و قادر بودند بسیاری از پدیده‌های عالم را توصیف کنند، اما پدیده‌هایی وجود داشتند که یا توضیح آنها با این قوانین ممکن نبود و یا توجیه آن پدیده‌ها به صورت منحصر به فرد انجام می‌شد و امکان تعمیم آن به پدیده‌های دیگر وجود نداشت. آغاز قرن بیستم مصادف با آغاز دو واقعه‌ی مهم در فیزیک بود که دیدگاه بنیادی ما را در مورد ساختار جهان متحول کرد، یکی نظریه‌ی نسبیت انیشتین بود، و دیگری پدیدار شدن فیزیک کوانتومی.

نظریه‌ی نسبیت قوانین نیوتنی را به چالش می‌کشید و به تصحیح این قوانین در محدوده‌ی سرعت-های بالا می‌پرداخت؛ همچنین خمیدگی فضا-زمان در اثر وجود گرانش از دیگر مباحث جدیدی بود که با ظهور نظریه‌ی نسبیت خودنمایی کرد. فیزیک کوانتومی نیز پای علم را به دنیای میکروسکوپی بیشتر باز کرد و موجب درک بهتر از این دنیای پر رمز و راز شد. توصیف و توجیه بسیاری از پدیده‌ها و ساخت بسیاری از ابزارها مانند لیزرها بر اساس فیزیک کوانتومی صورت گرفته است. علاوه بر اینها، در دنیای کنونی که نام عصر اطلاعات را به خود گرفته است، رسیدن به انتقال سریع‌تر، گسترده‌تر و با امنیت بالاتر اطلاعات بسیار مهم است، که فیزیک کوانتومی با موضوعاتی همچون ساخت کامپیوترهای کوانتومی، در این عرصه وارد شده است [۱۹].

در سال ۱۹۸۲ ریچارد فاینمن ایده‌ی کامپیوترهای کوانتومی را مطرح کرد [۲۰]. کامپیوتری که از اثرات مکانیک کوانتومی بهره‌برداری کند. تا مدتی این ایده فقط از نظر تئوری جالب بود، تا این که پیتر شور در سال ۱۹۹۴ الگوریتمی کوانتومی، برای تجزیه عددها به عوامل اول اختراع کرد [۲۱]. روش شور قادر است در زمانی از مرتبه چند جمله‌ای، یک عدد را به عوامل اول تجزیه کند. در کامپیوترهای کلاسیک تجزیه به عوامل اول کاری سخت است و تجزیه اعداد بزرگ روی یک کامپیوتر کلاسیک، حتی یک ابر رایانه، می‌تواند چندین سال یا حتی چندین قرن طول بکشد، درحالی‌که روی یک کامپیوتر کوانتومی، می‌تواند در چند دقیقه انجام شود. این موضوع زمانی اهمیت بیشتری می‌یابد که بدانیم بسیاری از الگوریتم‌های رمزنگاری امروزی از جمله RSA، بر اساس محاسبه عوامل اول کار می‌کند. در صورت ساخت کامپیوترهای کوانتومی، این‌گونه رمزنگاری‌ها در مدت زمانی کوتاه شکسته خواهند شد.

هرگونه ذخیره‌سازی، انتقال و پردازش اطلاعات در کامپیوترهای کوانتومی نیاز به یک حامل فیزیکی دارد. نظریه‌ی نوین اطلاعات کوانتومی بر پایه‌ی این ایده استوار است که سیستم‌های منفرد کوانتومی مانند اتم‌ها، فوتون‌ها و یون‌ها را می‌توان به عنوان حامل‌های اولیه‌ی اطلاعات مورد استفاده قرار داد [۲۲]. امکان ذخیره‌سازی و دستکاری حالات منفرد کوانتومی، توسط روش‌های اپتیک کوانتومی، فیزیک حالت جامد و بدام‌اندازی یون‌ها و اتم‌ها وجود دارد. در نظریه‌ی کوانتومی هر واحد اطلاعات یک بیت کوانتومی (Quantum bit) یا به اختصار کیوبیت (Qubit) نامیده می‌شود. یک کیوبیت، یک سیستم دوحالتی کوانتومی است. کنترل و دستکاری گذارهای بین حالت‌های یونی یون‌های بدام افتاده امکان ساخت کیوبیت را فراهم می‌آورد [۲۳]. کیوبیت‌های ایجاد شده از یک یون بدام افتاده می‌توانند در آماده‌سازی، انتقال و پردازش اطلاعات کوانتومی استفاده شوند [۲۴].

۳-۲ کیوبیت

بیت به عنوان مفهومی بنیادی در محاسبات و تئوری اطلاعات کلاسیکی شناخته شده است که حاوی اطلاعات دیجیتالی صفر و یک می‌باشد. با کد نمودن اطلاعات به زبان صفر و یک‌ها می‌توان زنجیره‌ای از صفر و یک جهت انتقال و پردازش اطلاعات به دست آورد. یک بیت کوانتومی را کیوبیت می‌نامیم. کیوبیت واحد بنیادی در سنجش اطلاعات کوانتومی است که معادل بیت در نظریه‌ی اطلاعات کلاسیکی محسوب می‌شود. یک بیت کلاسیک تنها می‌تواند در یکی از ۲ حالت ممکن، صفر یا یک، باشد و به طور کلی n بیت کلاسیک می‌تواند در یکی از 2^n حالت ممکن باشد، در حالی که کیوبیت می‌تواند توسط یک بردار واحد در فضای برداری دو بعدی مختلط اندازه‌گیری شود و مقدار صفر یا یک و یا ترکیبی خطی از این دو را همزمان اختیار کند.

بیت‌های کوانتومی یا کیوبیت‌ها، ترانزیستورهایی‌اند که رایانه‌های امروزی را تشکیل داده‌اند. وجه مشترک تمام کیوبیت‌ها آن است که می‌توانند از وضعیتی به وضعیت دیگر سوئیچ شوند، تغییر وضعیتی که می‌توان از آن برای نشان دادن دوتایی (صفر و یک) اطلاعات استفاده نمود.

کیوبیت‌ها دارای یکی از چهار نوع ذره کوانتومی فوتون، الکترون، اتم و یون می‌باشند. فوتون‌ها با یکدیگر برهم‌کنش خوبی ندارند، اما می‌توانند به آسانی از نقطه‌ای به نقطه دیگر جابه‌جا شوند و این خاصیت آنها را به گزینه‌ای مناسب جهت انتقال اطلاعات کوانتومی تبدیل می‌کند؛ الکترون‌ها، اتم‌ها و یون‌ها بر خلاف فوتون‌ها، به آسانی با هم برهم‌کنش دارند، اما جابه‌جایی خوبی ندارند و به همین دلیل برای پردازش و ذخیره اطلاعات کوانتومی بسیار مناسب می‌باشند.

الکترون‌ها:

الکترون‌ها دارای دو جهت اسپین بالا و پایین، همانند دو قطب یک آهنربا، می‌باشند و می‌توان با استفاده از میدان‌های الکتریکی، مغناطیسی یا نوری، آنها را در یکی از این دو وضعیت قرار داد. همچنین می‌توان از موقعیت الکترون در یک نقطه کوانتومی برای نمایش یک عدد دوتایی (۰، ۱) استفاده نمود.

اتم‌ها و یون‌ها:

اتم‌ها و یون‌ها از الکترون‌ها پیچیده‌تر می‌باشد و به روش‌های متعددی می‌توان از آنها برای نمایش اطلاعات استفاده کرد. یون‌ها در واقع اتم‌های باردار هستند که بار آنها ناشی از دریافت کردن و یا از دست دادن الکترون می‌باشد. اتم‌ها نیز همانند الکترون‌ها دارای جهت اسپینی هستند که می‌توان از آن برای نمایش یک رقم دوتایی در یک کیوبیت استفاده نمود. همچنین از موقعیت الکترون لایه خارجی اتم در سطح انرژی پایین‌تر یا بالاتر هم می‌توان برای نمایش صفر و یک‌ها استفاده نمود [۲۵-۲۷].

وقتی که ما بتوانیم فرآیندی خاص را پیدا کنیم که شامل دو مجموعه‌ی ممکن باشد، میتوانیم 0 و 1 ها را بسته به آن ویژگی خاص، تعریف کنیم. از انواع سیستم‌های کیوبیتی می‌توان دام‌های یونی، نقاط کوانتومی، ناخالص‌های نیمه‌رسانا، مدارهای ابررسانا و دام‌های نوری را نام برد.

دام‌های یونی یکی از سیستم‌های کیوبیتی می‌باشد که برای نگه داشتن یون‌ها از میدان‌های مغناطیسی و الکتریکی استفاده می‌کنند. فناوری دام یونی به خوبی جا افتاده و می‌توان با استفاده از آن در سطح انبوه به تولید کیوبیت‌ها پرداخت.

در زیر کیوبیت‌ها و روابط کوانتومی حاکم بر آن را شرح می‌دهیم.

یک بیت کوانتومی یا کیوبیت، معادل با حالت کوانتومی یک سیستم فیزیکی است که همانطور که گفتیم از دو حالت پایه تشکیل شده است. در حالت کلاسیک می‌توان آن را معادل با یک سیستم فیزیکی فرض کرد که از دو حالت متفاوت مانند $\{0,1\}$ تشکیل شده است. در محاسبات کوانتومی نمادگذاری دیراک مورد استفاده قرار می‌گیرد از این رو حالت‌های پایه سیستم کوانتومی مورد نظر به صورت $\{|0\rangle, |1\rangle\}$ نمایش داده می‌شود. هر یک از حالت‌های پایه معادل با یک حالت کلاسیک درستی و نادرستی است که می‌تواند با استفاده از خصوصیت‌های فیزیک کوانتومی مانند اسپین هسته و یا حالت فوتون نمایش داده شود. در اینجا جزئیات فیزیکی یک کیوبیت مد نظر نیست اما بر اساس مبانی کوانتومی یک سیستم کوانتومی نه تنها می‌تواند در حالت‌های پایه ای خود باشد بلکه می‌تواند در یک

ترکیب خطی از حالت های پایه نیز قرار داشته باشد. بر این اساس در حالت کلی یک کیوبیت با عبارت کلی زیر توصیف می شود:

$$|\psi\rangle = \alpha|0\rangle + \beta|1\rangle \quad (۱-۲-۳)$$

که اعداد α و β اعداد مختلط دلخواه هستند. از مکانیکی کوانتومی مقدماتی می دانیم، اگر حالت کوانتومی بالا را اندازه گیری نماییم، نتیجه ی حاصل با احتمال $|\alpha|^2$ حالت $|0\rangle$ و با احتمال $|\beta|^2$ حالت $|1\rangle$ می باشد. با توجه به بقای احتمال تنها شرط موجود در روی ضرایب α و β به این صورت است که:

$$|\alpha|^2 + |\beta|^2 = 1 \quad (۲-۲-۳)$$

توانایی اختیار کردن ترکیب خطی صفر و یک در کیوبیت ها پایه ی توانایی محاسبات کوانتومی است. کیوبیت ها در دنیای واقعی و آزمایشگاه توسط سیستم های فیزیکی مختلف پیاده سازی می شوند. می دانیم که سیستم اسپینی $s = \frac{1}{2}$ دارای فضای هیلبرت دوبعدی است و در اکثر مواقع به عنوان یک کیوبیت به کار می رود، به طوری که گاهی اوقات این دو به جای یکدیگر استفاده می شوند. اما اسپین $\frac{1}{2}$ تنها سیستمی نیست که می تواند مفهوم کیوبیت را داشته باشد. برخی از سطوح انرژی یون های به دام افتاده در میدان های الکتریکی به عنوان صفر و یک های کوانتومی استفاده کرده اند.

در حالت اتمی که کیوبیت ها به وسیله ی حالت الکترون ها در اتم توصیف می شوند، اتم می تواند در حالت پایه و یا برانگیخته باشد که حالت پایه را با $|0\rangle$ و حالت برانگیخته آن را با $|1\rangle$ نشان می دهیم. با تابش نور توسط لیزر می توانیم اتم را از حالت پایه $|0\rangle$ به حالت برانگیخته $|1\rangle$ منتقل نماییم و برعکس [۲۸ و ۲۹]. در بخش های بعدی برهم کنش حاصل از تاباندن نور لیزر به اتم را از دو دیدگاه نیمه کلاسیکی و کوانتومی بررسی می کنیم که در آن ها اتم به عنوان یک سیستم دوترازه ی کوانتومی در نظر گرفته شده و میدان در تئوری نیمه کلاسیکی، کلاسیکی و در تئوری کوانتومی، کوانتومی می باشد.

۳-۳ تئوری نیمه کلاسیکی برهم کنش اتم-میدان

یکی از ساده ترین مسائل که شامل برهم کنش اتم-میدان است، جفت شدگی یک اتم دوترازه با یک میدان الکترومغناطیسی تک مد است. توصیف اتم دوترازه در صورتی صحیح است که، دو تراز اتمی در حالت تشدید یا نزدیک به تشدید با میدان محرک باشند، در حالی که تمام سایر ترازها بسیار نامیزان هستند. تحت تقریب واقع گرایانه‌ی معین، این مسئله می‌تواند به یک شکلی که دقیقاً حل شده، ساده شود.

در این بخش ما یک تئوری نیمه کلاسیکی از برهم کنش اتم دوترازه با یک میدان تک مد معرفی می‌کنیم که در آن اتم به عنوان یک سیستم دوترازه‌ی کوانتومی و میدان کلاسیکی رفتار می‌کند. یک اتم دوترازه شبیه به یک سیستم اسپین $1/2$ با دو حالت محتمل است. در تقریب دوقطبی، زمانی که طول موج میدان بزرگتر از اندازه‌ی اتمی است، برهم کنش اتم-میدان مسئله از لحاظ ریاضیاتی شبیه به یک برهم کنش ذره‌ی اسپین $1/2$ با یک میدان مغناطیسی وابسته به زمان است و مانند یک سیستم با اسپین $1/2$ که در اثر برهم کنش با میدان، دچار نوسان‌های به اصطلاح رابی^۱ بین حالت‌های اسپین بالا و اسپین پایین می‌شود، اتم دوترازه هم در برهم کنش با میدان مغناطیسی تحریک کننده، دچار نوسان‌های رابی می‌گردد که در صورت واپاشی ترازهای اتمی، این نوسان‌ها میرا خواهند بود. درست همانطور که سیستم اسپین $1/2$ مورد بررسی نوسانات رابی، بین حالت‌های اسپین بالا و اسپین پایین، تحت اثر یک میدان مغناطیسی نوسانی، قرار می‌گیرد، اتم دوترازه نیز مورد بررسی نوسانات رابی اپتیکی، تحت اثر میدان مغناطیسی محرک قرار می‌گیرد [۳۰].

۳-۳-۱ هامیلتونی برهم کنش اتم-میدان

هامیلتونی برهم کنش یک الکترون با بار e و جرم m با یک میدان الکترومغناطیسی خارجی به شکل

^۱Rabi

زیر است [۳۱]:

$$H = \frac{1}{2m} [p - eA(r, t)]^2 + eU(r, t) + V(r) \quad (۱-۳-۳)$$

که در آن p عملگر تکانه و A پتانسیل برداری میدان خارجی و U پتانسیل اسکالر میدان خارجی و V پتانسیل الکتروستاتیکی (پتانسیل بستگی اتمی) می‌باشد. قبل از اینکه هامیلتونی را به شکل مناسب توصیف برهم‌کنش اتم دوترازی با میدان تابشی ساده کنیم، ابتدا آن را از نقطه نظر پیمانه ناوردا بررسی می‌نماییم.

معادله شرودینگر برای توصیف حرکت الکترون آزاد نیز به شکل زیر است:

$$\frac{-\hbar^2}{2m} \nabla^2 \psi = i\hbar \frac{\partial \psi}{\partial t} \quad (۲-۳-۳)$$

که در آن تساوی زیر بین چگالی احتمال یافتن الکترون در مکان r و زمان t با تابع موج دلخواه آن برقرار است:

$$p(r, t) = |\psi(r, t)|^2 \quad (۳-۳-۳)$$

$$\psi_1(r, t) = \psi(r, t) \exp(i\chi) \quad (۴-۳-۳)$$

در تبدیل پیمانه ای بالا با انتخاب هر χ ، چگالی احتمال همچنان بدون تغییر باقی خواهد ماند و تفاوت ψ_1 و ψ در بالا فقط در یک عامل فاز ثابت است و حالت فیزیکی یکسانی را نشان می‌دهند ولی در معادله‌ی زیر متفاوت خواهند بود.

$$\psi(r, t) \rightarrow \psi(r, t) e^{i\chi(r, t)} \quad (۵-۳-۳)$$

زمانی که χ تابعی از مکان و زمان باشد، چگالی احتمال همچنان مانند قبل بی‌تاثیر است ولی معادله‌ی شرودینگر تغییر می‌کند. بدین ترتیب برای برآوردن ناوردایی پیمانه موضعی معادله‌ی شرودینگر باید اصلاح شود. برای این کار از تبدیلات زیر استفاده می‌کنیم:

$$A(\mathbf{r}, t) \rightarrow A(\mathbf{r}, t) + \frac{\hbar}{e} \nabla \chi(\mathbf{r}, t), \quad (6-3-3)$$

$$U(\mathbf{r}, t) \rightarrow U(\mathbf{r}, t) - \frac{\hbar}{e} \frac{\partial \chi}{\partial t}(\mathbf{r}, t)$$

و با قرار دادن تبدیلات پیمانه‌ای فوق در معادله‌ی (۳-۳-۱) و ساده‌سازی آن معادله شرودینگر را به شکل زیر خواهیم داشت:

$$\left\{ \frac{-\hbar^2}{2m} \left[\nabla - i \frac{e}{\hbar} A(\mathbf{r}, t) \right]^2 + eU(\mathbf{r}, t) \right\} \psi = i\hbar \frac{\partial \psi}{\partial t} \quad (7-3-3)$$

تحت تبدیلات پیمانه‌ای بالا جواب معادله‌ی شرودینگر تغییری نمی‌کند که در آن A و U وابسته به پیمانه و E و B مستقل از پیمانه‌اند. هامیلتونی جفت کننده برابر عبارت زیر است:

$$H\psi = i\hbar \partial \psi / \partial t \quad (8-3-3)$$

میدان الکتریکی و مغناطیسی به ترتیب در زیر آورده شده:

$$E = -\nabla U - \frac{\partial A}{\partial t}, \quad (9-3-3)$$

$$B = \nabla \times A$$

معادله شرودینگر (۳-۳-۷)، اندرکنش یک الکترون با میدان الکترومغناطیس مشخص را نشان می‌دهد که در آن، الکترون‌ها توسط تابع موج ψ و میدان توسط پتانسیل‌های برداری و نرده‌ای توصیف شده‌اند.

اکنون مسئله‌ی یک الکترون مقید به یک نیروی مرکزی که توسط پتانسیل در \mathbf{r}_0 قرار داده شده را در تقریب دوقطبی و برای بدست آوردن هامیلتونی $r.E$ بررسی می‌کنیم. هامیلتونی می‌تواند توسط تقریب دوقطبی ساده شود. فرض می‌شود که کل اتم داخل یک موج الکترومغناطیسی تخت که توسط پتانسیل برداری توصیف شده قرار داده شده است. پتانسیل برداری در تقریب دوقطبی به شکل زیر است:

$$\begin{aligned}
A(r_0 + r, t) &= A(t) \exp[ik \cdot (r_0 + r)] \\
&= A(t) \exp(ik \cdot r_0) (1 + ik \cdot r + \dots) \\
&\approx A(t) \exp(ik \cdot r_0).
\end{aligned}
\tag{۱۰-۳-۳}$$

معادله‌ی شرودینگر برای تقریب دوقطبی و با قرار دادن $A(r, t)$ به جای $A(r_0, t)$ در معادله‌ی شرودینگر اصلاح شده (۷-۳-۳) و اضافه کردن پتانسیل بستگی الکترون و با شرط پیمانه‌ی تابش به شکل زیر می‌شود:

$$\left\{ \frac{-\hbar^2}{2m} \left[\nabla - i \frac{e}{\hbar} A(r_0, t) \right]^2 + V(r) \right\} \psi(r, t) = i\hbar \frac{\partial \psi(r, t)}{\partial t}
\tag{۱۱-۳-۳}$$

که شرط پیمانه‌ی تابش به صورت زیر است:

$$\begin{aligned}
U(r, t) &= 0, \\
\nabla \cdot A &= 0.
\end{aligned}
\tag{۱۲-۳-۳}$$

با تعریف یک تابع موج جدید در معادله‌ی شرودینگر بالا (۱۱-۳-۳) داریم:

$$\psi(r, t) = \exp\left[i \frac{e}{\hbar} A(r_0, t) \cdot r\right] \phi(r, t).
\tag{۱۳-۳-۳}$$

با قرار دادن معادله‌ی (۱۳-۳-۳) در معادله‌ی (۱۱-۳-۳) داریم:

$$\begin{aligned}
&i\hbar \left\{ \left(i \frac{e}{\hbar} \dot{A} \cdot r \right) \phi(r, t) \exp\left(i \frac{e}{\hbar} A \cdot r\right) + \dot{\phi}(r, t) \exp\left(i \frac{e}{\hbar} A \cdot r\right) \right\} \\
&= \left\{ \frac{P^2}{2m} - \frac{e^2}{2m} A^2 + V(r) \right\} \left\{ \phi(r, t) \exp\left(i \frac{e}{\hbar} A \cdot r\right) \right\}
\end{aligned}
\tag{۱۴-۳-۳}$$

A^2 کوچک و قابل حذف است، در نتیجه داریم:

$$\begin{aligned}
&i\hbar \left[\left(i \frac{e}{\hbar} \dot{A} \cdot r \right) \phi(r, t) + \dot{\phi}(r, t) \right] \exp\left(i \frac{e}{\hbar} A \cdot r\right) \\
&= \exp\left(i \frac{e}{\hbar} A \cdot r\right) \left[\frac{P^2}{2m} + V(r) \right] \phi(r, t)
\end{aligned}
\tag{۱۵-۳-۳}$$

با ساده کردن معادله‌ی فوق و حذف رابطه‌ی نمایی از طرفین داریم:

$$i\hbar \left(i \frac{e}{\hbar} \dot{A} \cdot r \right) \phi(r, t) + i\hbar \dot{\phi}(r, t) = \left[\frac{P^2}{2m} + V(r) \right] \phi(r, t)
\tag{۱۶-۳-۳}$$

از طرفی:

$$H_0 = \frac{P^2}{2m} + V(r) \quad (17-3-3)$$

که H_0 هامیلتونی انرژی آزاد الکترون است.

بنابراین با توجه به رابطه‌ی (17-3-3)، رابطه‌ی (16-3-3) بصورت زیر ساده می‌شود:

$$i\hbar \left(i \frac{e}{\hbar} \dot{A} \cdot r \right) \phi(r, t) + i\hbar \dot{\phi}(r, t) = H_0 \phi(r, t) \quad (18-3-3)$$

از طرفی از رابطه‌ی (9-3-3) برای میدان الکتریکی و در نظر گرفتن شرط پیمانه‌ی تابش $U(r, t) = 0$

، میدان الکتریکی بصورت زیر می‌شود:

$$E = -\dot{A} \quad (19-3-3)$$

بنابراین با قرار دادن E در رابطه‌ی (18-3-3) و با ساده‌سازی آن خواهیم داشت:

$$i\hbar \dot{\phi}(r, t) = [H_0 - er \cdot E(r_0, t)] \phi(r, t),$$

$$H_0 = \frac{P^2}{2m} + V(r) \quad (20-3-3)$$

از آنجایی که رابطه‌ی زیر برای هامیلتونی برقرار است، رابطه‌ی (20-3-3) را بر اساس آن بازنویسی

می‌کنیم:

$$i\hbar \frac{\partial}{\partial t} \phi = H \phi \quad (21-3-3)$$

$$H \phi = [H_0 - er \cdot E(r_0, t)] \phi(r, t) \quad (22-3-3)$$

بنابراین هامیلتونی کل به شکل زیر می‌شود:

$$H = H_0 + H_1, \quad (23-3-3)$$

$$H_1 = -er \cdot E(r_0, t) \quad (24-3-3)$$

که در آن $E = -\dot{A}$ است.

اکنون می‌خواهیم هامیلتونی $p \cdot A$ به جای هامیلتونی $r \cdot E$ را بدست آوریم یعنی به دنبال هامیلتونی

اتم-میدان بر حسب تکانه کانونی p و پتانسیل برداری A به جای جمله‌ی H_1 در هامیلتونی بالا هستیم.

ما دوباره شرط پیمانه‌ی تابش را در نظر می‌گیریم، نهایتاً هامیلتونی (۱-۳-۳) می‌تواند به شکل زیر نوشته شود:

$$H' = H_0 + H_2, \quad (۲۵-۳-۳)$$

$$H_2 = -\frac{e}{m} p \cdot A(r_0, t) + \frac{e^2}{2m} A^2(r_0, t) \quad (۲۶-۳-۳)$$

که H_0 در رابطه‌ی (۱۷-۳-۳) داده شده و H_2 از تقریب دوقطبی و باز کردن رابطه‌ی (۱-۳-۳) برابر زیر است:

$$H_2 = -\frac{e}{m} p \cdot A(r_0, t) + \frac{e^2}{2m} A^2(r_0, t) \quad (۲۷-۳-۳)$$

و بنابراین معادله‌ی شرودینگر بصورت زیر می‌شود:

$$[H_0 - \frac{e}{m} p \cdot A(r_0, t) + \frac{e^2}{2m} A^2(r_0, t)]\psi(r, t) = i\hbar \frac{\partial}{\partial t} \psi(r, t) \quad (۲۸-۳-۳)$$

و معادله‌ی حرکت و هامیلتونی با در نظر نگرفتن A^2 به این صورت است:

$$i\hbar \frac{\partial}{\partial t} \psi(r, t) = [H_0 - \frac{e}{m} p \cdot A(r_0, t)]\psi(r, t) \quad (۲۹-۳-۳)$$

و بنابراین هامیلتونی به شکل زیر می‌شود:

$$H' = H_0 - \frac{e}{m} p \cdot A(r_0, t) \quad (۳۰-۳-۳)$$

و معادله‌ی (۲۷-۳-۳) با حذف A^2 می‌شود:

$$H_2 = \frac{e}{m} p \cdot A(r_0, t) \quad (۳۱-۳-۳)$$

ما در زیر برهم‌کنش یک اتم در مکان $r_0 = 0$ را با میدان موج تخت تک‌رنگ پلاریزه‌ی خطی را بررسی می‌کنیم.

میدان الکتریکی به شکل زیر می‌شود:

$$E(0, t) = \varepsilon \cos(\nu t) \quad (۳۲-۳-۳)$$

که در آن ε دامنه و ν فرکانس می‌باشد.

و پتانسیل برداری پیمانه‌ی تابش متناظر:

$$A(0, t) = -\frac{1}{\nu} \varepsilon \sin(\nu t) \quad (33-3-3)$$

اکنون می‌خواهیم دامنه‌ی وابسته به زمان را به همراه H_1 و H_2 بررسی کنیم. از جای‌گذاری A و E

در H_1 و H_2 و حذف بخش وابستگی زمانی داریم:

$$W_1 = -er.\varepsilon, \quad (34-3-3)$$

$$W_2 = \frac{e}{mv} p.\varepsilon \quad (35-3-3)$$

می‌خواهیم ارتباط بین W_2 و W_1 را پیدا کنیم:

$$p = mv = -m\left(\frac{i}{\hbar}\right)[r, H_0] \quad (36-3-3)$$

سپس عناصر ماتریسی W_2 و W_1 را با محاسبه بین ویژه‌حالت اولیه‌ی $|i\rangle$ برای H_0 و یک ویژه‌حالت

نهایی $|f\rangle$ پیدا می‌کنیم، بطوریکه [30]:

$$H_0 |i\rangle = \hbar\omega_i |i\rangle, \quad (37-3-3)$$

$$H_0 |f\rangle = \hbar\omega_f |f\rangle$$

ابتدا $\langle f|p|i\rangle$ را محاسبه می‌کنیم:

$$\begin{aligned} \langle f|p|i\rangle &= \langle f| -\frac{mi}{\hbar} [r, H_0] |i\rangle = -m\frac{i}{\hbar} \langle f|[r, H_0]|i\rangle \\ &= -m\frac{i}{\hbar} [\langle f|rH_0|i\rangle - \langle f|H_0r|i\rangle] = mi(\omega_f - \omega_i) \langle f|r|i\rangle \end{aligned} \quad (38-3-3)$$

$$= mi\omega \langle f|r|i\rangle$$

که در آن فرکانس گذار به شکل زیر است:

$$\omega = \omega_f - \omega_i \quad (39-3-3)$$

بنابراین با توجه به رابطه‌ی (38-3-3)، نسبت زیر برای W_2 و W_1 بدست می‌آید:

$$\frac{|\langle f | W_2 | i \rangle|}{|\langle f | W_1 | i \rangle|} = \left| -\frac{(e/mv)\langle f | p | i \rangle \cdot \varepsilon}{e\langle f | r | i \rangle \cdot \varepsilon} \right| \quad (40-3-3)$$

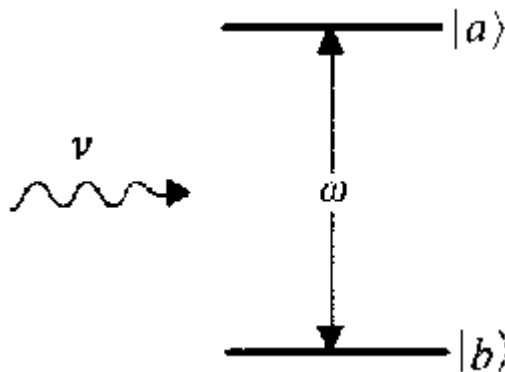
$$= \left| -\frac{(e/mv)mi\omega\langle f | r | i \rangle \cdot \varepsilon}{e\langle f | r | i \rangle \cdot \varepsilon} \right| = \frac{\omega}{v}$$

۳-۳-۲ برهم کنش یک اتم دوترازه با میدان تک مد

برهم کنش یک میدان تابشی حامل فرکانس با یک اتم دوترازه را به صورت شکل (۳-۳-۱) در نظر

می‌گیریم. یعنی $|a\rangle$ و $|b\rangle$ حالت‌های تراز پایین و بالای اتم هستند. به عبارتی آن‌ها ویژه حالت‌های

هامیلتونی H_0 با ویژه مقادیر $\hbar\omega_b$ و $\hbar\omega_a$ هستند [۳۰].



شکل ۳-۳-۱: برهم کنش یک اتم دوترازه با یک میدان تک مد [۳۰].

تابع موج اتم دوترازه که در آن C_a و C_b به ترتیب دامنه‌ی احتمال یافتن اتم در حالت‌های $|a\rangle$ و

$|b\rangle$ است، به شکل زیر می‌باشد:

$$|\psi(t)\rangle = C_a(t)|a\rangle + C_b(t)|b\rangle \quad (41-3-3)$$

از آنجا که ذره می‌تواند در یکی از دو حالت کوانتومی یافت شود، بردار حالت یک برهم‌نهی از حالت-

های کوانتومی خواهد بود. پس حتی هنگامی که نیروهای خارجی حضور دارند نیز تابع موج اتم دوترازه

باید بصورت یک برهم‌نهی باشد.

معادله‌ی شرودینگر متناظر:

$$|\dot{\psi}(t)\rangle = -\frac{i}{\hbar} H |\psi(t)\rangle \quad (42-3-3)$$

که در آن $H = H_0 + H_1$ است.

از آنجایی که $\langle a| \langle a| + |b\rangle \langle b| = 1$ ، بنابراین H_0 را بر اساس آن می‌نویسیم:

$$\begin{aligned} H_0 &= (\langle a| \langle a| + |b\rangle \langle b|) H_0 (\langle a| \langle a| + |b\rangle \langle b|) \\ &= \hbar\omega_a |a\rangle \langle a| + \hbar\omega_b |b\rangle \langle b| \end{aligned} \quad (43-3-3)$$

که در آن روابط (37-3-3) برقرار است.

و به همین ترتیب بخش H_1 هامیلتونی که نشان دهنده‌ی برهم‌کنش اتم با میدان تابشی است بصورت

زیر نوشته می‌شود:

$$\begin{aligned} H_1 &= -e\chi E(t) \\ &= -e(\langle a| \langle a| + |b\rangle \langle b|) \chi (\langle a| \langle a| + |b\rangle \langle b|) E(z, t) \\ &= -(\Lambda_{ab} |a\rangle \langle b| + \Lambda_{ba} |b\rangle \langle a|) E(t) \end{aligned} \quad (44-3-3)$$

که در آن Λ_{ab} عنصر ماتریس گشتاور دوقطبی الکتریکی است بطوریکه:

$$\Lambda_{ab} = \Lambda_{ba}^* = e \langle a| \chi |b\rangle \quad (45-3-3)$$

میدان در تقریب دوقطبی بر اساس معادله‌ی (32-3-3) با این فرض که در راستای محور x و قطبیده‌ی

خطی باشد، به صورت $E(0, t) = \varepsilon \cos vt$ است.

با قرار دادن ψ از معادله‌ی (41-3-3) در معادله‌ی شرودینگر (42-3-3) و اثر دادن H ، داریم:

$$\begin{aligned} \dot{C}_a |a\rangle + \dot{C}_b |b\rangle &= -\frac{i}{\hbar} H_0 (C_a |a\rangle + C_b |b\rangle) - \frac{i}{\hbar} H_1 (C_a |a\rangle + C_b |b\rangle) \\ \rightarrow \dot{C}_a |a\rangle + \dot{C}_b |b\rangle &= -iC_a \omega_a |a\rangle - iC_b \omega_b |b\rangle + \frac{i}{\hbar} C_b E \Lambda_{ab} |a\rangle + \frac{i}{\hbar} C_a E \Lambda_{ba} |b\rangle \end{aligned} \quad (46-3-3)$$

از طرفی فرکانس رابی Ω_R بصورت زیر تعریف می‌شود [30]:

$$\Omega_R = \frac{|\Lambda_{ba}|}{\hbar} \varepsilon \quad (47-3-3)$$

بطوریکه:

$$\Lambda_{ba} = |\Lambda_{ba}| \exp(i\phi) \quad (48-3-3)$$

و ϕ فاز عنصر ماتریس دوقطبی است. پس با توجه به روابط (47-3-3) و (48-3-3) داریم:

$$|\Lambda_{ba}| = \frac{\Omega_R}{\varepsilon} \hbar, \quad (49-3-3)$$

$$\Lambda_{ba} = |\Lambda_{ba}| \exp(i\phi) = \frac{\Omega_R}{\varepsilon} \hbar \exp(i\phi)$$

بنابراین رابطه‌ی (46-3-3) را می‌توانیم با استفاده از روابط (32-3-3) و (49-3-3) و (45-3-3)

بصورت زیر ساده کنیم:

$$(50-3-3)$$

$$\dot{C}_a |a\rangle + \dot{C}_b |b\rangle = -iC_a \omega_a |a\rangle - iC_b \omega_b |b\rangle + i\Omega_R C_b (\cos vt) e^{-i\phi} |a\rangle + i\Omega_R C_a (\cos vt) e^{i\phi} |b\rangle$$

بنابراین با مقایسه‌ی ضرایب $|a\rangle$ و $|b\rangle$ از طرفین معادله‌ی بالا، معادلات حرکت دامنه‌های C_a و C_b

بصورت زیر بدست می‌آید:

$$\begin{aligned} \dot{C}_a &= -i\omega_a C_a + i\Omega_R (\cos vt) e^{-i\phi} C_b, \\ \dot{C}_b &= -i\omega_b C_b + i\Omega_R (\cos vt) e^{i\phi} C_a \end{aligned} \quad (51-3-3)$$

به منظور حل C_a و C_b در معادلات فوق، آن‌ها را برای دامنه‌های زیر می‌نویسیم:

$$\begin{aligned} c_a &= C_a e^{i\omega_a t}, \\ c_b &= C_b e^{i\omega_b t}. \end{aligned} \quad (52-3-3)$$

با مشتق‌گیری از معادلات بالا و جای‌گذاری \dot{C}_a و \dot{C}_b از معادلات حرکت (51-3-3) بدست می‌آید:

$$\begin{aligned}
\dot{c}_a &= \dot{C}_a e^{i\omega_a t} + iC_a e^{i\omega_a t} \omega_a \\
&= -iC_a e^{i\omega_a t} \omega_a + i\Omega_R e^{-i\phi} (\cos vt) e^{i\omega_a t} C_b + iC_a e^{i\omega_a t} \omega_a \\
&= \frac{i\Omega_R e^{-i\phi}}{2} \frac{c_b}{e^{i\omega_b t}} e^{i\omega_a t} (e^{ivt} + e^{-ivt}) \\
&= \frac{i\Omega_R e^{-i\phi}}{2} c_b (e^{i(\omega_a - \omega_b + v)t} + e^{i(\omega_a - \omega_b - v)t}) \\
&= \frac{i\Omega_R e^{-i\phi}}{2} c_b (e^{i(\omega+v)t} + e^{i(\omega-v)t})
\end{aligned} \tag{53-3-3}$$

که در آن $\omega = \omega_a - \omega_b$ بوده و v فرکانس میدان و ω فرکانس گذار اتمی می باشد. جمله‌ی نمایی $e^{i(\omega+v)t}$ با توجه به تقریب موج چرخان حذف (برابر صفر) می شود. از آنجا که برای جفت شدن دو تراز با یکدیگر و برهم کنش اتم با میدان در یک سیستم اتمی، نباید نوسانات اتم میدان خیلی سریع باشد، عبارت نمایی دارای مقدار بزرگ را حذف می کنیم که تحت عنوان تقریب موج چرخان نامیده می شود. بنابراین \dot{c}_a تحت تقریب موج چرخان بصورت زیر می شود:

$$\dot{c}_a = \frac{i\Omega_R e^{-i\phi}}{2} c_b e^{i(\omega-v)t} \tag{54-3-3}$$

به همین روش، \dot{c}_b نیز بدست می آید:

$$\dot{c}_b = \frac{i\Omega_R e^{-i\phi}}{2} c_a e^{i(\omega-v)t} \tag{55-3-3}$$

جوابهای حدسی معادلات بالا به شکل زیر است:

$$\begin{aligned}
c_a(t) &= (a_1 e^{i\Omega t/2} + a_2 e^{-i\Omega t/2}) e^{i\Delta t/2}, \\
c_b(t) &= (b_1 e^{i\Omega t/2} + b_2 e^{-i\Omega t/2}) e^{-i\Delta t/2}.
\end{aligned} \tag{56-3-3}$$

که در آن نامیزانی یعنی اختلاف فرکانس اتمی با فرکانس میدان بصورت زیر است:

$$\Delta = \omega - v \tag{57-3-3}$$

و همچنین:

$$\Omega = \sqrt{\Omega_R^2 + (\omega - v)^2} \tag{58-3-3}$$

و a_1, a_2, b_1, b_2 ثابتهای انتگرال گیری هستند که از شرایط اولیه تعیین می شوند. برای این

کار ابتدا \dot{c}_a را از رابطه‌ی (۵۶-۳-۳) بدست می‌آوریم:

$$(۵۹-۳-۳)$$

$$\dot{c}_a(t) = e^{i\Delta t/2} [a_1 e^{i\Omega t/2} (i\Omega/2) + a_2 e^{-i\Omega t/2} (-i\Omega/2)] + (a_1 e^{i\Omega t/2} + a_2 e^{-i\Omega t/2}) e^{i\Delta t/2} (i\Delta/2)$$

سپس رابطه‌ی (۵۹-۳-۳) در بالا را برای لحظه‌ی $t=0$ می‌نویسیم:

$$\dot{c}_a(0) = a_1 (i\Omega/2) + a_2 (-i\Omega/2) + (a_1 + a_2) (i\Delta/2) \quad (۶۰-۳-۳)$$

و همچنین c_a را از رابطه‌ی (۵۶-۳-۳) برای $t=0$ می‌نویسیم:

$$c_a(0) = a_1 + a_2 \quad (۶۱-۳-۳)$$

از طرفی رابطه‌ی (۵۴-۳-۳) برای $t=0$ بصورت زیر می‌شود:

$$\dot{c}_a = \frac{i\Omega_R e^{-i\phi}}{2} c_b(0) \quad (۶۲-۳-۳)$$

که $c_b(0)$ از رابطه‌ی (۵۶-۳-۳) در لحظه‌ی $t=0$ می‌شود:

$$c_b(0) = b_1 + b_2 \quad (۶۳-۳-۳)$$

از برابری روابط (۶۰-۳-۳) و (۶۲-۳-۳) داریم:

$$a_1 (i\Omega/2) + a_2 (-i\Omega/2) + (a_1 + a_2) (i\Delta/2) = \frac{i\Omega_R e^{-i\phi}}{2} c_b(0) \quad (۶۴-۳-۳)$$

$$\rightarrow i\Omega/2 (a_1 - a_2) + (a_1 + a_2) (i\Delta/2) = \frac{i\Omega_R e^{-i\phi}}{2} c_b(0)$$

با توجه به رابطه‌ی (۶۱-۳-۳)، رابطه‌ی بالا را بازنویسی می‌کنیم:

$$(i\Omega/2)(2a_1 - c_a(0)) + (c_a(0))(i\Delta/2) = \frac{i\Omega_R e^{-i\phi}}{2} c_b(0)$$

$$\rightarrow a_1 = (\Omega_R / 2\Omega) e^{-i\phi} c_b(0) + \frac{1}{2} c_a(0) - (\Delta / 2\Omega) c_a(0) \quad (۶۵-۳-۳)$$

$$= \frac{1}{2\Omega} [(\Omega - \Delta) c_a(0) + \Omega_R e^{-i\phi} c_b(0)]$$

همانطور که دیدیم a_1 بدست آمد، با استفاده از رابطه‌ی (۶۱-۳-۳) می‌توان a_2 را نیز بدست آورد

و همچنین با همین روش سایر ضرایب b_1 و b_2 نیز بدست می‌آید:

$$\begin{aligned}
a_1 &= \frac{1}{2\Omega} [(\Omega - \Delta)c_a(0) + \Omega_R e^{-i\phi} c_b(0)], \\
a_2 &= \frac{1}{2\Omega} [(\Omega + \Delta)c_a(0) - \Omega_R e^{-i\phi} c_b(0)], \\
b_1 &= \frac{1}{2\Omega} [(\Omega + \Delta)c_b(0) + \Omega_R e^{i\phi} c_a(0)], \\
b_2 &= \frac{1}{2\Omega} [(\Omega - \Delta)c_b(0) - \Omega_R e^{i\phi} c_a(0)].
\end{aligned}
\tag{۶۶-۳-۳}$$

با قرار دادن شرایط اولیه در معادلات (۵۶-۳-۳) داریم:

$$\tag{۶۷-۳-۳}$$

$$\begin{aligned}
c_a(t) &= \frac{e^{i\Delta t/2}}{2\Omega} \left\{ [(\Omega - \Delta)c_a(0) + \Omega_R e^{-i\phi} c_b(0)] e^{i\Omega t/2} + [(\Omega + \Delta)c_a(0) - \Omega_R e^{-i\phi} c_b(0)] e^{-i\Omega t/2} \right\} \\
&= e^{i\Delta t/2} \left\{ c_a(0) \left[\frac{e^{i\Omega t/2}(\Omega - \Delta) + e^{-i\Omega t/2}(\Omega + \Delta)}{2\Omega} + i \frac{\Omega_R}{\Omega} e^{-i\phi} c_b(0) \sin\left(\frac{\Omega t}{2}\right) \right] \right\} \\
&= e^{i\Delta t/2} \left\{ c_a(0) \left[\cos\left(\frac{\Omega t}{2}\right) - \frac{i\Delta}{\Omega} \sin\left(\frac{\Omega t}{2}\right) \right] + i \frac{\Omega_R}{\Omega} e^{-i\phi} c_b(0) \sin\left(\frac{\Omega t}{2}\right) \right\}
\end{aligned}$$

همچنین با روشی مشابه، $c_b(t)$ بصورت زیر بدست می‌آید:

$$c_b(t) = e^{-i\Delta t/2} \left\{ c_b(0) \left[\cos\left(\frac{\Omega t}{2}\right) + \frac{i\Delta}{\Omega} \sin\left(\frac{\Omega t}{2}\right) \right] + i \frac{\Omega_R}{\Omega} e^{i\phi} c_a(0) \sin\left(\frac{\Omega t}{2}\right) \right\}
\tag{۶۸-۳-۳}$$

از طرفی مجموع احتمالات ۱ می‌شود، زیرا اتم یا در حالت $|a\rangle$ یا در حالت $|b\rangle$ قرار دارد. بنابراین:

$$|c_a(t)|^2 + |c_b(t)|^2 = 1
\tag{۶۹-۳-۳}$$

اگر فرض کنیم که در زمان اولیه اتم در حالت $|a\rangle$ قرار دارد و $C_a(0) = 1$ و $C_b(0) = 0$ است، در

این صورت احتمال قرار گرفتن اتم در حالت‌های $|a\rangle$ و $|b\rangle$ در زمان t توسط $|C_a(t)|^2$ و $|C_b(t)|^2$ داده

می‌شود.

وارونی به صورت زیر تعریف می‌شود:

$$W(t) = |c_a(t)|^2 - |c_b(t)|^2 \quad (۷۰-۳-۳)$$

با جای گذاری c_a و c_b از روابط (۶۷-۳-۳) و (۶۸-۳-۳) و فرضیات بالا که $C_a(0) = 1$ و $C_b(0) = 0$

است، وارونی بصورت زیر بدست می آید:

$$\begin{aligned} W(t) &= \left| e^{i\Delta t/2} \left[\cos\left(\frac{\Omega t}{2}\right) - \frac{i\Delta}{\Omega} \sin\left(\frac{\Omega t}{2}\right) \right] \right|^2 - \left| e^{-i\Delta t/2} \left[i \frac{\Omega_R}{\Omega} e^{i\phi} - \frac{i\Delta}{\Omega} \sin\left(\frac{\Omega t}{2}\right) \right] \right|^2 \\ &= \left[\cos^2\left(\frac{\Omega t}{2}\right) + \frac{\Delta^2}{\Omega^2} \sin^2\left(\frac{\Omega t}{2}\right) \right] - \left[\frac{\Omega_R^2}{\Omega^2} \sin^2\left(\frac{\Omega t}{2}\right) \right] \\ &= \left(\frac{\Delta^2 - \Omega_R^2}{\Omega^2} \right) \sin^2\left(\frac{\Omega t}{2}\right) + \cos^2\left(\frac{\Omega t}{2}\right) \end{aligned} \quad (۷۱-۳-۳)$$

تحت اثر میدان، یک گشتاور دوقطبی بین ترازهای اتمی القاء می شود که به شکل زیر است:

$$\begin{aligned} P(t) &= e \langle \psi(t) | \hat{p} | \psi(t) \rangle = e \left(c_a^* \langle \psi_a | + c_b^* \langle \psi_b | \right) \hat{p} \left(c_a | \psi_a \rangle + c_b | \psi_b \rangle \right) \\ &= C_a^* C_b \Lambda_{ab} + C_b^* C_a \Lambda_{ab}^* \end{aligned} \quad (۷۲-۳-۳)$$

با استفاده از رابطه (۵۲-۳-۳)، $P(t)$ را بازنویسی می کنیم:

$$\begin{aligned} P(t) &= c_a^* e^{i\omega_a t} c_b e^{-i\omega_b t} \Lambda_{ab} + c_b^* e^{i\omega_b t} c_a e^{-i\omega_a t} \Lambda_{ab}^* \\ &= c_a^* c_b \Lambda_{ab} e^{i\omega t} + c_b^* c_a \Lambda_{ab}^* e^{-i\omega t} \end{aligned} \quad (۷۳-۳-۳)$$

که در آن $\omega = \omega_a - \omega_b$ است.

با جای گذاری c_a و c_b از رابطه (۶۷-۳-۳) و (۶۸-۳-۳) در رابطه ی گشتاور دوقطبی بالا و با

همان فرض $C_a(0) = 1$ و $C_b(0) = 0$ داریم:

$$\begin{aligned} P(t) &= 2 \operatorname{Re} \left\{ \Lambda_{ab} e^{i\omega t} e^{-2i\Delta t/2} \left[i \frac{\Omega_R}{\Omega} e^{i\phi} \sin\left(\frac{\Omega t}{2}\right) \right] \left[\cos\left(\frac{\Omega t}{2}\right) + \frac{i\Delta}{\Omega} \sin\left(\frac{\Omega t}{2}\right) \right] \right\} \\ &= 2 \operatorname{Re} \left\{ \Lambda_{ab} e^{i(\omega-\Delta)t} \left[i \frac{\Omega_R}{\Omega} e^{i\phi} \sin\left(\frac{\Omega t}{2}\right) \right] \left[\cos\left(\frac{\Omega t}{2}\right) + \frac{i\Delta}{\Omega} \sin\left(\frac{\Omega t}{2}\right) \right] \right\} \\ &= 2 \operatorname{Re} \left\{ i \frac{\Omega_R}{\Omega} \Lambda_{ab} \left[\cos\left(\frac{\Omega t}{2}\right) + \frac{i\Delta}{\Omega} \sin\left(\frac{\Omega t}{2}\right) \right] \sin\left(\frac{\Omega t}{2}\right) e^{i\phi} e^{i\omega t} \right\} \end{aligned} \quad (۷۴-۳-۳)$$

که در آن طبق رابطه (۵۷-۳-۳)، $\omega - \Delta = \nu$ است.

بنابراین گشتاور دوقطبی با فرکانس میدان اعمالی نوسان می کند.

در حالت خاص که اتم در تشدید با میدان ورودی باشد $\Delta=0$ است و از طرفی $\Delta = \omega - \gamma$ ، در اینصورت $\omega = \gamma$ می‌شود و طبق رابطه‌ی (۵۸-۳-۳)، بدست می‌آید و در نتیجه با توجه به رابطه‌ی (۷۱-۳-۳) در حالت تشدید داریم:

$$W(t) = -\sin^2 \frac{\Omega_R t}{2} + \cos^2 \frac{\Omega_R t}{2} = \cos \Omega_R t \quad (75-3-3)$$

اکنون تصویر برهم‌کنش را بررسی می‌کنیم و معادله‌ی شرودینگر را بصورت زیر داریم:

$$\frac{\partial}{\partial t} |\psi(t)\rangle = -\frac{i}{\hbar} H |\psi(t)\rangle \quad (76-3-3)$$

با جای‌گذاری $|\psi(t)\rangle = U(t) |\psi(0)\rangle$ در معادله‌ی شرودینگر بالا داریم:

$$\dot{U} |\psi(0)\rangle = -\frac{i}{\hbar} H U |\psi(0)\rangle \quad \rightarrow \quad \frac{\partial}{\partial t} U |\psi(0)\rangle = -\frac{i}{\hbar} H U |\psi(0)\rangle \quad (77-3-3)$$

در نتیجه عملگر تحول زمانی یکانی به شکل زیر می‌شود:

$$\dot{U}(t) = -\frac{i}{\hbar} H U(t) \quad (78-3-3)$$

که $U(0) = 1$ است.

بردار حالت در تصویر برهم‌کنش به صورت زیر است:

$$|\psi_1(t)\rangle = U_0^\dagger(t) |\psi(t)\rangle \quad (79-3-3)$$

با استفاده از معادله‌ی (۷۸-۳-۳) داریم:

$$\begin{aligned} \frac{\dot{U}}{U} &= \frac{\partial}{\partial t} \ln U \rightarrow \int \frac{\partial}{\partial t} \ln U dt = \int -\frac{i}{\hbar} H dt \\ \rightarrow \ln U &= -\frac{i}{\hbar} H t \rightarrow U = \exp\left(-\frac{i}{\hbar} H t\right) \quad (80-3-3) \\ \rightarrow U_0(t) &= \exp\left(-\frac{i}{\hbar} H_0 t\right) \end{aligned}$$

با مشتق‌گیری از سمت راست معادله‌ی (۷۹-۳-۳) داریم:

$$\frac{\partial}{\partial t} |\psi_1(t)\rangle = \left[\frac{\partial}{\partial t} U_0^\dagger(t) \right] |\psi(t)\rangle + U_0^\dagger(t) \frac{\partial}{\partial t} |\psi(t)\rangle \quad (81-3-3)$$

از این رو با استفاده از روابط (۷۶-۳-۳) و (۷۹-۳-۳) و (۸۰-۳-۳) داریم:

$$\frac{\partial}{\partial t} |\psi_I(t)\rangle = -\frac{i}{\hbar} V(t) |\psi_I(t)\rangle, \quad (۸۲-۳-۳)$$

$$V(t) = U_0^\dagger(t) H_1 U_0(t). \quad (۸۳-۳-۳)$$

که $V(t)$ هامیلتونی تصویر برهم کنش است.

و همچنین عملگر O در تصویر شرودینگر تحت تبدیل، عملگر O_I در تصویر برهم کنش را می‌دهد:

$$O_I(t) = U_0^\dagger(t) O U_0(t) \quad (۸۴-۳-۳)$$

مقدار انتظاری O را بدست می‌آوریم:

$$\begin{aligned} \langle O \rangle &= \langle \psi(t) | O | \psi(t) \rangle \\ &= \langle \psi_I(t) | U_0^\dagger(t) O U_0(t) | \psi_I(t) \rangle \\ &= \langle \psi_I(t) | O_I | \psi_I(t) \rangle. \end{aligned} \quad (۸۵-۳-۳)$$

برای جواب معادله‌ی (۸۲-۳-۳) داریم:

$$|\psi_I(t)\rangle = U_I(t) |\psi_I(0)\rangle \quad (۸۶-۳-۳)$$

بطوریکه U_I عملگر تحول زمانی در تصویر برهم کنش بصورت زیر است که T در آن عملگر ترتیب

زمانی است:

$$U_I(t) = T \exp\left[-\frac{i}{\hbar} \int V(\tau) d\tau\right] \quad (۸۷-۳-۳)$$

با به توان n رساندن رابطه‌ی (۴۳-۳-۳) خواهیم داشت:

$$H_0^n = (\hbar\omega_a)^n |a\rangle\langle a| + (\hbar\omega_b)^n |b\rangle\langle b| \quad (۸۸-۳-۳)$$

از رابطه‌ی (۸۰-۳-۳) و با استفاده از بسط تیلور آن رابطه و جای گذاری H_0^n از رابطه‌ی (۸۸-۳-۳)

خواهیم داشت:

$$\begin{aligned}
U_0(t) &= \exp(-\frac{i}{\hbar} H_0 t) = \sum_{n=0}^{\infty} (-1)^n (\frac{i}{\hbar})^n \frac{H_0^n t^n}{n!} = [1 - \frac{it}{\hbar} H_0 + (\frac{i}{\hbar})^2 \frac{t^2}{2} H_0^2 + \dots] \\
&= [1 - \frac{it}{\hbar} (\hbar\omega_a |a\rangle\langle a| + \hbar\omega_b |b\rangle\langle b|) + (\frac{i}{\hbar})^2 \frac{t^2}{2} (\hbar^2\omega_a^2 |a\rangle\langle a| + \hbar^2\omega_b^2 |b\rangle\langle b|) + \dots] \quad (۸۹-۳-۳) \\
&= \sum_{n=0}^{\infty} (-1)^n (i)^n \frac{\omega_a^n t^n}{n!} |a\rangle\langle a| + \sum_{n=1}^{\infty} (-1)^n (i)^n \frac{\omega_b^n t^n}{n!} |b\rangle\langle b| \\
&= \exp(-i\omega_a t) |a\rangle\langle a| + \exp(-i\omega_b t) |b\rangle\langle b|
\end{aligned}$$

همیلتونی تصویر برهم کنش $V(t)$ برای یک اتم در $z=0$ بصورت زیر بدست می آید:

ابتدا رابطه‌ی (۴۴-۳-۳) را با استفاده از روابط (۴۵-۳-۳) و (۴۹-۳-۳) و E از رابطه‌ی (۳-۳-۳) بازنویسی می کنیم:

$$\begin{aligned}
H_1 &= -(\frac{\Omega_R}{\epsilon} \hbar \exp(-i\phi) |a\rangle\langle b| + \frac{\Omega_R}{\epsilon} \hbar \exp(i\phi) |b\rangle\langle a|) \epsilon \cos vt \quad (۹۰-۳-۳) \\
&= -\Omega_R \hbar (\exp(-i\phi) |a\rangle\langle b| + \exp(i\phi) |b\rangle\langle a|) \cos vt
\end{aligned}$$

اکنون $V(t)$ را از رابطه‌ی (۸۳-۳-۳)، با استفاده از H_1 از رابطه‌ی (۹۰-۳-۳) بازنویسی می کنیم:

$$V(t) = -\Omega_R \hbar U_0^\dagger(t) (\exp(-i\phi) |a\rangle\langle b| + \exp(i\phi) |b\rangle\langle a|) U_0 \cos vt \quad (۹۱-۳-۳)$$

با جای گذاری U_0 و U_0^\dagger با استفاده از رابطه‌ی (۸۹-۳-۳) در رابطه‌ی بالا، $V(t)$ را بدست می آوریم:

$$(۹۲-۳-۳)$$

$$\begin{aligned}
V(t) &= -\Omega_R \hbar (e^{i\omega_a t} |a\rangle\langle a| + e^{i\omega_b t} |b\rangle\langle b|) (e^{-i\phi} |a\rangle\langle b| + e^{i\phi} |b\rangle\langle a|) (e^{-i\omega_a t} |a\rangle\langle a| + e^{-i\omega_b t} |b\rangle\langle b|) \frac{e^{ivt} + e^{-ivt}}{2} \\
&= -\Omega_R \hbar (e^{i\omega_a t} e^{-i\phi} |a\rangle\langle b| + e^{i\omega_b t} e^{i\phi} |b\rangle\langle a|) (e^{-i\omega_a t} |a\rangle\langle a| + e^{-i\omega_b t} |b\rangle\langle b|) \frac{e^{ivt} + e^{-ivt}}{2} \\
&= \frac{-\Omega_R \hbar}{2} (e^{i\omega t} e^{-i\phi} |a\rangle\langle b| + e^{-i\omega t} e^{i\phi} |b\rangle\langle a|) (e^{ivt} + e^{-ivt}) \\
&= \frac{-\Omega_R \hbar}{2} [e^{-i\phi} |a\rangle\langle b| e^{i\Delta t} + e^{i\phi} |b\rangle\langle a| e^{-i\Delta t} + e^{-i\phi} |a\rangle\langle b| e^{i(\omega+\nu)t} + e^{i\phi} |b\rangle\langle a| e^{-i(\omega+\nu)t}].
\end{aligned}$$

که در آن $\omega = \omega_a - \omega_b$ و $\Delta = \omega - \nu$ است.

با در نظر گرفتن تقریب موج چرخان که طبق آن عبارت نمایی با مقدار بزرگ حذف (برابر صفر)

می شود و با فرض اینکه $\Delta = 0$ است، $V(t)$ را بازنویسی می کنیم:

$$V(t) = \frac{-\Omega_R \hbar}{2} (e^{-i\phi} |a\rangle\langle b| + e^{i\phi} |b\rangle\langle a|) \quad (93-3-3)$$

با محاسبه‌ی V^2 و V^3 و ... می‌توان به روابط زیر رسید:

$$V^{2n}(t) = \left(\frac{\Omega_R \hbar}{2}\right)^{2n} (|a\rangle\langle a| + |b\rangle\langle b|)^n, \quad (94-3-3)$$

$$V^{2n+1}(t) = -\left(\frac{\Omega_R \hbar}{2}\right)^{2n+1} (e^{-i\phi} |a\rangle\langle b| + e^{i\phi} |b\rangle\langle a|).$$

از رابطه‌ی (۸۷-۳-۳) و با جای‌گذاری V از رابطه‌ی (۹۳-۳-۳) در آن، در نتیجه عملگر تحول زمانی

از $U_I(t)$ با استفاده از بسط تیلور و رابطه‌ی (۹۴-۳-۳) به شکل زیر می‌شود:

$$\begin{aligned} U_I &= \exp\left[\frac{-it}{\hbar} V(t)\right] = \sum \frac{i^n (-tV(t)/\hbar)^n}{n!} \\ &= \sum \frac{i^{2n}}{2n!} \left(\frac{t}{\hbar}\right)^{2n} V^{2n}(t) - \sum \frac{i^{2n+1}}{(2n+1)!} \left(\frac{t}{\hbar}\right)^{2n+1} V^{2n+1}(t) \end{aligned} \quad (95-3-3)$$

$$= \cos\left(\frac{t}{\hbar} V^{2n}(t)\right) + i \sin\left(\frac{t}{\hbar} V^{2n+1}(t)\right)$$

$$= \cos\left(\frac{\Omega_R t}{2}\right) (|a\rangle\langle a| + |b\rangle\langle b|) + i \sin\left(\frac{\Omega_R t}{2}\right) (e^{-i\phi} |a\rangle\langle b| + e^{i\phi} |b\rangle\langle a|).$$

اگر اتم ابتدا در حالت برانگیخته‌ی $|a\rangle$ باشد ($|\psi(0)\rangle \equiv |a\rangle$)، طبق رابطه‌ی (۸۶-۳-۳) و جای‌گذاری

U_I از رابطه‌ی (۹۵-۳-۳) داریم:

$$\begin{aligned} |\psi(t)\rangle &= U_I(t) |a\rangle \\ &= \cos\left(\frac{\Omega_R t}{2}\right) |a\rangle + i \sin\left(\frac{\Omega_R t}{2}\right) e^{i\phi} |b\rangle. \end{aligned} \quad (96-3-3)$$

و همچنین از رابطه‌ی (۴۱-۳-۳) برای دامنه‌ی احتمال داریم:

$$\begin{aligned} c_a(t) &= \langle a | \psi \rangle = \cos\left(\frac{\Omega_R t}{2}\right), \\ c_b(t) &= \langle b | \psi \rangle = i \sin\left(\frac{\Omega_R t}{2}\right) e^{i\phi}. \end{aligned} \quad (97-3-3)$$

در این بخش برهم‌کنش یک سیستم اتم دوترازه با میدان کلاسیکی را بررسی کردیم و دیدیم نیروی

الکتریکی حاصل از میدان باعث نوسان ترازها با فرکانس رابی می‌شود. با استفاده از تقریب دوقطبی،

هامیلتونی برهم کنش سیستم را بدست آوردیم و با استفاده از آن معادلات حرکت دامنه‌های احتمال و در نهایت هامیلتونی سیستم دوترازه در تقریب موج چرخان را محاسبه کردیم [۳۰].

۳-۴ تئوری کوانتومی برهم کنش اتم-میدان

در بخش قبلی، در باب برهم کنش میدان تابشی با ذره، ما فرض کردیم که میدان، کلاسیکی است. اگرچه در بسیاری از حالت‌ها این فرض درست است، اما موارد بسیاری وجود دارد که یک میدان کلاسیکی در توضیح نتایجی که بصورت تجربی مشاهده شده، شکست می‌خورد و یک شرح کوانتیزه از میدان ضروری است. ما یک تئوری کوانتومی از برهم کنش اتم دوترازه با یک میدان تک مد معرفی می‌کنیم که در آن اتم به عنوان یک سیستم دوترازه‌ی کوانتومی و میدان نیز کوانتیزه در نظر گرفته می‌شود. حتی در سیستم‌های ساده‌ای همچون برهم کنش اتم-میدان، پیش‌بینی‌ها برای دینامیک اتم، در تئوری نیمه کلاسیکی و تئوری کوانتومی، کاملاً متفاوت است.

در این بخش ما برهم کنش میدان تابشی کوانتیزه با سیستم اتمی دوترازه‌ی شرح داده شده توسط یک هامیلتونی در تقریب‌های دوقطبی و موج چرخان را مطرح می‌کنیم [۳۰].

۳-۴-۱ هامیلتونی برهم کنش اتم-میدان

برهم کنش میدان تابشی E و اتم تک الکترون می‌تواند توسط هامیلتونی زیر در تقریب دوقطبی ($k.r \ll 1$) توصیف شود که در آن H_A انرژی اتم، H_F انرژی میدان تابشی و $e\mathbf{r}$ بردار حالت الکترون است:

$$H = H_A + H_F - e\mathbf{r} \cdot \mathbf{E} \quad (1-4-3)$$

در تقریب دوقطبی، میدان روی کل اتم یکنواخت فرض شده است.

و انرژی میدان تابشی بصورت زیر است [۳۱]:

$$H_F = \sum_k \hbar v_k (a_k^\dagger a_k + \frac{1}{2}) \quad (2-4-3)$$

که v_k فرکانس میدان و a_k و a_k^\dagger به ترتیب عملگرهای خلق و فنا هستند. σ_{ij} عملگر گذار اتمی است:

$$\sigma_{ij} = |i\rangle\langle j| \quad (3-4-3)$$

$\{|i\rangle\}$ مجموعه‌ی کاملی از ویژه‌کتهای انرژی اتمی را نشان می‌دهد، یعنی:

$$\sum_i |i\rangle\langle i| = 1 \quad (4-4-3)$$

بنابراین ویژه مقدار انرژی اتمی از رابطه‌ی زیر پیروی می‌کند:

$$H_A |i\rangle = E_i |i\rangle \quad (5-4-3)$$

بنابراین:

$$H_A = \sum_i E_i |i\rangle\langle i| = \sum_i E_i \sigma_{ii} \quad (6-4-3)$$

و باز بر اساس (3-4-3) و (4-4-3)، er بصورت زیر می‌شود:

$$er = \sum_{i,j} e |i\rangle\langle i|r|j\rangle\langle j| = \sum_{i,j} \Lambda_{i,j} \sigma_{ij} \quad (7-4-3)$$

که در آن $\Lambda_{i,j}$ عنصر ماتریس گذار دوقطبی الکتریکی و به شکل زیر است:

$$\Lambda_{i,j} = e \langle i|r|j\rangle \quad (8-4-3)$$

عملگر میدان الکتریکی تحت تقریب دوقطبی و برای اتم در مبداء ($r_0 = 0$) و در $t = 0$ بصورت زیر

است [۳۰]:

$$E = \sum_k \hat{\epsilon}_k \epsilon_k (a_k^\dagger + a_k) \quad (9-4-3)$$

در لحظه‌ی $t=0$ هامیلتونی را که مستقل از زمان در نظر گرفتیم و انرژی نقطه‌ی صفر آن را حذف

کردیم، به اینصورت می‌شود:

$$H = \sum_k \hbar \nu_k a_k^\dagger a_k + \sum_i E_i \sigma_{ii} + \hbar \sum_{i,j} \sum_k g_k^{ij} \sigma_{ij} (a_k + a_k^\dagger), \quad (10-4-3)$$

بطوریکه:

$$g_k^{ij} = -\frac{\Lambda_{i,j} \cdot \hat{\epsilon}_k \cdot \epsilon_k}{\hbar}. \quad (11-4-3)$$

ما در این پایان نامه برای سادگی، $\Lambda_{i,j}$ را حقیقی فرض کردیم.

همچنان برای اتم دوترازه روابط زیر برقرار است، یعنی گذار بین a و b یکی می باشد:

$$\Lambda_{ab} = \Lambda_{ab}^*, \quad (12-4-3)$$

$$\Lambda_{ba} = \Lambda_{ba}^*. \quad (13-4-3)$$

در نهایت هامیلتونی رابطه‌ی (10-4-3) برای اتم دوترازه با دو تراز انرژی به شکل زیر می شود:

$$H = \sum_k \hbar \nu_k a_k^\dagger a_k + (E_a \sigma_{aa} + E_b \sigma_{bb}) + \hbar \sum_k g_k (\sigma_{ab} + \sigma_{ba}) (a_k + a_k^\dagger) \quad (14-4-3)$$

که جمله‌ی دوم آن را می توان به این صورت نوشت:

$$\begin{aligned} E_a \sigma_{aa} + E_b \sigma_{bb} &= \frac{2E_a \sigma_{aa} + E_b \sigma_{bb}}{2} \pm E_a \sigma_{aa} \pm E_b \sigma_{bb} \\ &= \frac{1}{2} [E_a \sigma_{aa} - E_a \sigma_{bb} - E_b \sigma_{aa} + E_b \sigma_{bb} + E_a \sigma_{aa} + E_b \sigma_{bb} + E_a \sigma_{bb} + E_b \sigma_{aa}] \\ &= \frac{1}{2} [(E_a - E_b)(\sigma_{aa} - \sigma_{bb}) + (E_a + E_b)(\sigma_{aa} + \sigma_{bb})] \\ &= \frac{1}{2} \hbar \omega (\sigma_{aa} - \sigma_{bb}) + \frac{1}{2} (E_a + E_b) \end{aligned} \quad (15-4-3)$$

که در آن روابط زیر برقرار است و $\frac{1}{2}(E_a + E_b)$ مقدار ثابتی بوده و می توانیم آن را حذف کنیم:

$$E_a - E_b = \hbar \omega \quad \text{اختلاف انرژی دو تراز: (16-4-3)}$$

$$\sigma_{aa} + \sigma_{bb} = |a\rangle\langle a| + |b\rangle\langle b| = 1 \quad \text{بر اساس رابطه‌ی (4-4-3) داریم: (17-4-3)}$$

ما از نمادهای زیر بر اساس ماتریس‌های پائولی در روابطمان استفاده می کنیم:

$$\sigma_z = \sigma_{aa} - \sigma_{bb} = |a\rangle\langle a| - |b\rangle\langle b|, \quad (18-4-3)$$

$$\sigma_+ = \sigma_{ab} = |a\rangle\langle b|, \quad (19-4-3)$$

$$\sigma_- = \sigma_{ba} = |b\rangle\langle a|. \quad (20-4-3)$$

بنابراین هامیلتونی رابطه‌ی (۱۴-۴-۳) با نمادهایی که در بالا تعریف شد، به شکل زیر درمی‌آید:

$$H = \sum_k \hbar \nu_k a_k^\dagger a_k + \frac{1}{2} \hbar \omega \sigma_z + \hbar \sum_k g_k (\sigma_+ + \sigma_-)(a_k + a_k^\dagger) \quad (21-4-3)$$

بطوریکه رابطه‌ی زیر بین ماتریس‌های پائولی برقرار است:

$$[\sigma_-, \sigma_+] = -\sigma_z, \quad (22-4-3)$$

$$[\sigma_-, \sigma_z] = 2\sigma_-. \quad (23-4-3)$$

و ماتریس‌های پائولی بصورت زیر تعریف می‌شود:

$$\sigma_- = \begin{pmatrix} 0 & 0 \\ 1 & 0 \end{pmatrix}, \quad \sigma_+ = \begin{pmatrix} 0 & 1 \\ 0 & 0 \end{pmatrix}, \quad \sigma_z = \begin{pmatrix} 1 & 0 \\ 0 & -1 \end{pmatrix}. \quad (24-4-3)$$

انرژی برهم‌کنش در رابطه‌ی (۲۱-۴-۳) شامل ۴ جمله می‌باشد. جمله‌ی شامل $a_k^\dagger \sigma_-$ فرایندی را نشان می‌دهد که اتم از تراز بالا به تراز پایین می‌رود و یک فوتون تولید می‌کند. همچنین جمله‌ی $a_k \sigma_+$ عکس فرایند فوق را توصیف می‌کند. بنابراین در هر دو فرایند انرژی بقا دارد. جمله‌ی $a_k \sigma_-$ فرایندی را توصیف می‌کند که اتم از تراز بالا به تراز پایین می‌رود و یک فوتون نابود می‌شود و نتیجه‌ی آن از دست دادن انرژی می‌باشد. به صورت مشابه $a_k^\dagger \sigma_+$ به دست آوردن انرژی را نشان می‌دهد. بنابراین در دو جمله توصیف شده در آخر اصل بقای انرژی نقض می‌شود. با حذف دو جمله آخر که مطابق با تقریب موج چرخان صورت می‌گیرد، هامیلتونی سیستم را می‌توان به صورت زیر نوشت [۳۰].

$$H = \sum_k \hbar \nu_k a_k^\dagger a_k + \frac{1}{2} \hbar \omega \sigma_z + \hbar \sum_k g_k (\sigma_+ a_k + a_k^\dagger \sigma_-) \quad (25-4-3)$$

۳-۴-۲ برهم‌کنش یک اتم دوترازه با میدان تک مد

در ادامه‌ی رابطه‌ی (۲۵-۴-۳)، برهم‌کنش اتم دوترازه با میدان کوانتیزه‌ی تک مد با فرکانس ν

توسط هامیلتونی زیر توصیف می‌شود:

$$H = H_0 + H_1, \quad (26-4-3)$$

که در آن:

$$H_0 = \hbar \nu a^\dagger a + \frac{1}{2} \hbar \omega \sigma_z, \quad (27-4-3)$$

$$H_1 = \hbar g (\sigma_+ a + a^\dagger \sigma_-). \quad (28-4-3)$$

همیلتونی بالا برهم‌کنش اتم-میدان را در تقریب دوقطبی و موج چرخان نشان می‌دهد.

از رابطه‌ی (۸۰-۴-۳) و (۸۳-۴-۳)، همیلتونی در تصویر برهم‌کنش را بصورت زیر داریم:

$$V = e^{iH_0 t/\hbar} H_1 e^{-iH_0 t/\hbar} \quad (29-4-3)$$

بسط بیکرهاستورف به شکل زیر است [۳۱]:

$$e^{\alpha A} B e^{-\alpha A} = B + \alpha [A, B] + \frac{\alpha^2}{2!} [A, [A, B]] + \dots, \quad (30-4-3)$$

که با استفاده از بسط بیکرهاستورف و بسط تیلور داریم:

$$\begin{aligned} e^{i\nu a^\dagger a t} a e^{-i\nu a^\dagger a t} &= a + i\nu t [a^\dagger a, a] + \frac{(i\nu t)^2}{2!} [a^\dagger a, [a^\dagger a, a]] + \dots \\ &= a + i\nu t (-a) + \frac{(i\nu t)^2}{2!} [a^\dagger a, (-a)] + \frac{(i\nu t)^3}{3!} (-a) \\ &= a \left(1 - i\nu t + \frac{(i\nu t)^2}{2!} - \frac{(i\nu t)^3}{3!} \right) = a e^{-i\nu t} \end{aligned} \quad (31-4-3)$$

به همین روش رابطه‌ی زیر نیز بدست می‌آید:

$$e^{i\omega \sigma_z t/2} \sigma_+ e^{-i\omega \sigma_z t/2} = \sigma_+ e^{i\omega t} \quad (32-4-3)$$

انرژی برهم‌کنش V از روابط (۲۷-۴-۳) تا (۳۲-۴-۳) بصورت زیر بدست می‌آید:

$$\begin{aligned} V &= e^{iH_0 t/\hbar} H_1 e^{-iH_0 t/\hbar} \\ &= e^{i\nu a^\dagger a t} e^{i\omega \sigma_z t/2} (H_1) e^{-i\nu a^\dagger a t} e^{-i\omega \sigma_z t/2} \\ &= \hbar g e^{i\nu a^\dagger a t} e^{i\omega \sigma_z t/2} (\sigma_+ a + a^\dagger \sigma_-) e^{-i\nu a^\dagger a t} e^{-i\omega \sigma_z t/2} \\ &= \hbar g (\sigma_+ e^{i\omega t} a e^{-i\nu t} + a^\dagger e^{i\nu t} \sigma_- e^{-i\omega t}) \\ &= \hbar g (\sigma_+ a e^{i\Delta t} + a^\dagger \sigma_- e^{-i\Delta t}) \end{aligned} \quad (33-4-3)$$

که در آن $\Delta = \omega - \nu$ است.

برای پیدا کردن دامنه‌ی احتمال ابتدا به حل معادله‌ی حرکت زیر برای $|\psi\rangle$ می‌پردازیم:

$$i\hbar \frac{\partial |\psi\rangle}{\partial t} = V |\psi\rangle \quad (3-4-34)$$

در هر زمان t ، بردار حالت $|\psi\rangle$ ، ترکیب خطی از حالت‌های $|a, n\rangle$ و $|b, n\rangle$ می‌باشد که $|a, n\rangle$ یعنی اتم در حالت برانگیخته‌ی $|a\rangle$ و میدان دارای n فوتون است و $|b, n\rangle$ یعنی اتم در حالت برانگیخته‌ی $|b\rangle$ و میدان دارای n فوتون است.

همانند رابطه‌ی (3-3-41)، بردار حالت $|\psi\rangle$ (تابع موج اتم دوترازه با میدان) به شکل زیر است:

$$|\psi(t)\rangle = \sum_n [c_{a,n}(t)|a, n\rangle + c_{b,n}(t)|b, n\rangle] \quad (3-4-35)$$

$|\psi(t)\rangle$ را از رابطه‌ی (3-4-35) و V را از رابطه‌ی (3-4-33) در معادله‌ی حرکت (3-4-34) قرار

می‌دهیم و معادلات حرکت دامنه‌ی احتمال را به شکل زیر بدست می‌آوریم:

انرژی برهم‌کنش V ، فقط می‌تواند باعث گذار بین حالت $|a, n\rangle$ و $|b, n+1\rangle$ شود. پس تحول دامنه‌ی

$c_{a,n}$ و $c_{b,n+1}$ را در نظر می‌گیریم.

$$(3-4-36)$$

$$\begin{aligned} i\hbar \frac{\partial |\psi\rangle}{\partial t} &= V |\psi\rangle \\ \rightarrow i\hbar (\dot{c}_{a,n}(t)|a, n\rangle + \dot{c}_{b,n+1}(t)|b, n+1\rangle) \\ &= \hbar g (\sigma_+ a e^{i\Delta t} + a^\dagger \sigma_- e^{-i\Delta t}) (c_{a,n}(t)|a, n\rangle + c_{b,n+1}(t)|b, n+1\rangle) \\ &= \hbar g \sigma_+ a e^{i\Delta t} (c_{a,n}(t)|a, n\rangle + c_{b,n+1}(t)|b, n+1\rangle) + \hbar g a^\dagger \sigma_- e^{-i\Delta t} (c_{a,n}(t)|a, n\rangle + c_{b,n+1}(t)|b, n+1\rangle) \end{aligned}$$

$$\begin{aligned}
& \rightarrow i\hbar(\dot{c}_{a,n}(t)|a,n\rangle + \dot{c}_{b,n}(t)|b,n\rangle) \\
& = \hbar g e^{i\Delta t} c_{a,n}(t) \sqrt{n}|0,n-1\rangle + \hbar g e^{-i\Delta t} c_{b,n}(t) \sqrt{n+1}|n\rangle \\
& + \hbar g e^{-i\Delta t} c_{a,n}(t) \sqrt{n+1}|b,n-1\rangle + \hbar g e^{-i\Delta t} c_{b,n}(t) \sqrt{2n}|n-2\rangle
\end{aligned} \quad (37-4-3)$$

از مقایسه‌ی دو طرف معادله‌ی (37-4-3)، معادلات دامنه‌ی احتمال بدست می‌آید:

$$\begin{aligned}
\dot{c}_{a,n} &= -ig\sqrt{n+1}e^{i\Delta t}c_{b,n+1}, \\
\dot{c}_{b,n+1} &= -ig\sqrt{n+1}e^{-i\Delta t}c_{a,n}.
\end{aligned} \quad (38-4-3)$$

از مقایسه‌ی روابط (38-4-3) با (34-4-3) و (35-4-3) در بخش قبل، مشاهده می‌کنیم که دامنه-

های احتمال مشابه‌اند با این تفاوت که:

$$g\sqrt{n+1} = \frac{\Omega_R}{2} e^{-i\phi} \quad \text{برای } \dot{c}_a \quad (39-4-3)$$

$$g\sqrt{n+1} = \frac{\Omega_R}{2} e^{i\phi} \quad \text{و برای } \dot{c}_b \quad (40-4-3)$$

بنابراین تساوی‌های (39-4-3) و (40-4-3) را در روابط (37-4-3) و (38-4-3) جای‌گذاری و

معادلات کلی دامنه‌ی احتمال را بصورت زیر بدست می‌آوریم:

$$(41-4-3)$$

$$\begin{aligned}
c_{a,n}(t) &= \left\{ c_{a,n}(0) \left[\cos\left(\frac{\Omega_n t}{2}\right) - \frac{i\Delta}{\Omega_n} \sin\left(\frac{\Omega_n t}{2}\right) \right] - \frac{2ig\sqrt{n+1}}{\Omega_n} c_{b,n+1}(0) \sin\left(\frac{\Omega_n t}{2}\right) \right\} e^{i\Delta t/2}, \\
c_{b,n+1}(t) &= \left\{ c_{b,n+1}(0) \left[\cos\left(\frac{\Omega_n t}{2}\right) + \frac{i\Delta}{\Omega_n} \sin\left(\frac{\Omega_n t}{2}\right) \right] - \frac{2ig\sqrt{n+1}}{\Omega_n} c_{a,n}(0) \sin\left(\frac{\Omega_n t}{2}\right) \right\} e^{-i\Delta t/2}.
\end{aligned}$$

که در آن $\Omega = \Omega_n$ است.

و از (35-4-3) و (39-4-3) و (40-4-3) نتیجه می‌گیریم:

$$\Omega_n^2 = \Omega^2 = \Omega_R^2 + (\omega - \nu)^2 = 4g^2(n+1) + \Delta^2 \quad (42-4-3)$$

که در آن $\omega - \nu = \Delta$ است و در حالت $\Delta = 0$ فرکانس برابر فرکانس رابی می‌شود.

در ابتدا اتم در حالت برانگیخته‌ی $|a\rangle$ است، بنابراین $c_{a,n}(0) = c_n(0)$ و $c_{b,n+1}(0) = 0$ می‌شود که

$c_n(0)$ ، دامنه‌ی احتمال میدان است. بنابراین معادلات (۴۱-۴-۳) به شکل زیر تغییر می‌یابد:

$$c_{a,n}(t) = c_n(0) \left[\cos\left(\frac{\Omega_n t}{2}\right) - \frac{i\Delta}{\Omega_n} \sin\left(\frac{\Omega_n t}{2}\right) \right] e^{i\Delta t/2},$$

$$c_{b,n+1}(t) = -c_n(0) \frac{2ig\sqrt{n+1}}{\Omega_n} \sin\left(\frac{\Omega_n t}{2}\right) e^{-i\Delta t/2}.$$
(۴۳-۴-۳)

احتمال اینکه در زمان t ، n فوتون در میدان وجود داشته باشد با $p(n)$ و بصورت زیر نشان داده می‌شود که $|C_{a,n}(t)|^2$ در آن احتمال این است که در زمان t اتم در حالت $|a\rangle$ باشد و میدان n فوتون داشته باشد و $|C_{b,n}(t)|^2$ احتمال این است که در زمان t اتم در حالت $|b\rangle$ باشد و میدان n فوتون داشته باشد.

$$p(n) = |c_{a,n}(t)|^2 + |c_{b,n}(t)|^2$$

$$= \rho_{nn}(0) \left[\cos^2\left(\frac{\Omega_n t}{2}\right) + \left(\frac{\Delta}{\Omega_n}\right)^2 \sin^2\left(\frac{\Omega_n t}{2}\right) \right] + \rho_{n-1,n-1}(0) \left(\frac{4g^2 n}{\Omega_{n-1}^2}\right) \sin^2\left(\frac{\Omega_{n-1} t}{2}\right),$$
(۴۴-۴-۳)

بطوریکه در آن $\rho_{nn}(0)$ که احتمال وجود n فوتون در میدان در زمان $t=0$ است به شکل زیر است:

$$\rho_{nn}(0) = \frac{\langle n \rangle^n e^{-\langle n \rangle}}{n!}.$$
(۴۵-۴-۳)

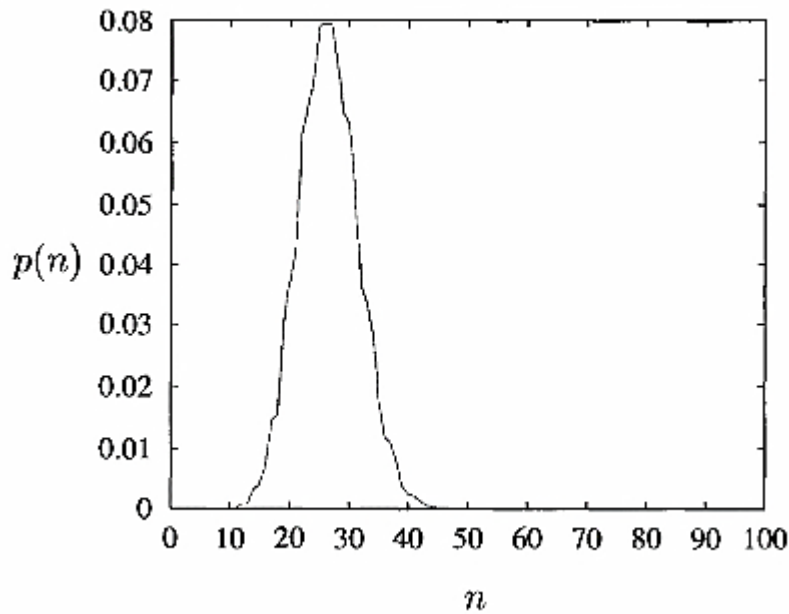
طبق رابطه‌ی (۴۴-۴-۳) در $t=0$ داریم:

$$p(n) = \rho_{nn}(0)$$
(۴۶-۴-۳)

و با استفاده از رابطه‌ی (۴۵-۴-۳) داریم:

$$p(n) = \rho_{nn}(0) = \frac{\langle n \rangle^n e^{-\langle n \rangle}}{n!}$$
(۴۷-۴-۳)

که $p(n)$ را می‌توان بر حسب n رسم کرد (شکل ۱-۴-۳).



شکل ۳-۴-۱: رسم $p(n)$ بر حسب تعداد فوتون‌ها (n) ، برای حالت همدوس اولیه در زمان $t=0$ [۳۰].

کمیت مهم دیگر وارونی است که بصورت زیر است [۳۰]:

$$W(t) = \sum_n [|c_{a,n}(t)|^2 - |c_{b,n}(t)|^2] \quad (۴۸-۴-۳)$$

با جای‌گذاری $c_{a,n}(t)$ و $c_{b,n}(t)$ از روابط (۳-۴-۳) و باز آرایش رابطه‌ی (۳-۴-۳)، وارونی به

شکل زیر بدست می‌آید:

$$(۴۹-۴-۳)$$

$$W(t) = \sum_{n=0}^{\infty} \left\{ \rho_{nn}(0) \left[\cos^2\left(\frac{\Omega_n t}{2}\right) + \left(\frac{\Delta}{\Omega_n}\right)^2 \sin^2\left(\frac{\Omega_n t}{2}\right) \right] - \rho_{n-1,n-1}(0) \left(\frac{4g^2 n}{\Omega_{n-1}^2}\right) \sin^2\left(\frac{\Omega_{n-1} t}{2}\right) \right\}$$

با نوشتن جملات آن داریم:

$$\begin{aligned} W(t) = & \rho_{00}(0) \left[\cos^2\left(\frac{\Omega_0 t}{2}\right) + \left(\frac{\Delta}{\Omega_0}\right)^2 \sin^2\left(\frac{\Omega_0 t}{2}\right) \right] + 0 \\ & + \rho_{11}(0) \left[\cos^2\left(\frac{\Omega_1 t}{2}\right) + \left(\frac{\Delta}{\Omega_1}\right)^2 \sin^2\left(\frac{\Omega_1 t}{2}\right) \right] - \rho_{00}(0) \left(\frac{4g^2(1)}{\Omega_0^2}\right) \sin^2\left(\frac{\Omega_0 t}{2}\right) \\ & + \rho_{22}(0) \left[\cos^2\left(\frac{\Omega_2 t}{2}\right) + \left(\frac{\Delta}{\Omega_2}\right)^2 \sin^2\left(\frac{\Omega_2 t}{2}\right) \right] - \rho_{11}(0) \left(\frac{4g^2(2)}{\Omega_0^2}\right) \sin^2\left(\frac{\Omega_1 t}{2}\right) + \dots \end{aligned} \quad (۵۰-۴-۳)$$

همانطور که می بینیم ضریب ρ در جملات یکی در میان تکرار می شود، از این رو به روش استقرایی معادله کلی وارونی را می یابیم. برای اینکار ابتدا جمع روی جملات با ضریب ρ_{00} را محاسبه می کنیم:

(۵۱-۴-۳)

$$\begin{aligned} & \rho_{00}(0) \left[\cos^2\left(\frac{\Omega_0 t}{2}\right) + \left(\frac{\Delta}{\Omega_0}\right)^2 \sin^2\left(\frac{\Omega_0 t}{2}\right) - \left(\frac{4g^2(1)}{\Omega_0^2}\right) \sin^2\left(\frac{\Omega_0 t}{2}\right) \right] \pm \left(\frac{\Delta}{\Omega_0}\right)^2 \cos^2\left(\frac{\Omega_0 t}{2}\right) \\ &= \rho_{00}(0) \left[\cos^2\left(\frac{\Omega_0 t}{2}\right) + \left(\frac{\Delta}{\Omega_0}\right)^2 \left[\sin^2\left(\frac{\Omega_0 t}{2}\right) + \cos^2\left(\frac{\Omega_0 t}{2}\right) \right] - \left(\frac{4g^2(1)}{\Omega_0^2}\right) \sin^2\left(\frac{\Omega_0 t}{2}\right) - \left(\frac{\Delta}{\Omega_0}\right)^2 \cos^2\left(\frac{\Omega_0 t}{2}\right) \right] \\ &= \rho_{00}(0) \left[\left(\frac{\Delta}{\Omega_0}\right)^2 + \left(\frac{4g^2(1)}{\Omega_0^2}\right) (\cos^2\left(\frac{\Omega_0 t}{2}\right) - \sin^2\left(\frac{\Omega_0 t}{2}\right)) \right] \\ &= \rho_{00}(0) \left[\left(\frac{\Delta}{\Omega_0}\right)^2 + \left(\frac{4g^2(1)}{\Omega_0^2}\right) (\cos^2\left(\frac{\Omega_0 t}{2}\right) - \sin^2\left(\frac{\Omega_0 t}{2}\right)) \right] \end{aligned}$$

که این برای سایر جملات با ضرایب دیگر نیز برقرار است، از این رو در حالت کلی وارونی را می توانیم بصورت زیر بنویسیم:

$$W(t) = \sum_{n=0}^{\infty} \rho_{nn}(0) \left[\left(\frac{\Delta}{\Omega_n}\right)^2 + \frac{4g^2(n+1)}{\Omega_n^2} \cos(\Omega_n t) \right] \quad (52-4-3)$$

همچنین رابطه ی (۵۲-۴-۳) وارونی را می توان به روش استنتاجی نیز اثبات کرد. به اینصورت که

جمله ی $\pm \left(\frac{\Delta}{\Omega_n}\right)^2 \cos^2\left(\frac{\Omega_n t}{2}\right)$ را به سمت راست معادله ی (۴۹-۴-۳) اضافه می کنیم و وارونی را بدست

می آوریم: (۵۳-۴-۳)

$$\begin{aligned} W(t) &= \sum_{n=0}^{\infty} \left\{ \rho_{nn}(0) \left[\cos^2\left(\frac{\Omega_n t}{2}\right) + \left(\frac{\Delta}{\Omega_n}\right)^2 \sin^2\left(\frac{\Omega_n t}{2}\right) \right] - \rho_{n-1,n-1}(0) \left[\left(\frac{4g^2 n}{\Omega_{n-1}^2}\right) \sin^2\left(\frac{\Omega_{n-1} t}{2}\right) \pm \left(\frac{\Delta}{\Omega_n}\right)^2 \cos^2\left(\frac{\Omega_n t}{2}\right) \right] \right\} \\ \rightarrow W(t) &= \sum_{n=0}^{\infty} \rho_{nn}(0) \left[\left(\frac{\Delta}{\Omega_n}\right)^2 + \frac{4g^2(n+1)}{\Omega_n^2} \cos(\Omega_n t) \right] \end{aligned}$$

در بخش های (۳-۳) و (۴-۳) برهم کنش سیستم اتم دوترازه را با میدان کلاسیکی و کوانتومی بررسی کردیم و ملاحظه شد که نیروی الکتریکی حاصل از میدان اعمال شده، باعث نوسان جمعیت سیستم توسط فرکانس رابی می شود. همچنین با استفاده از ناوردایی پیمانانه موضعی و تقریب دوقطبی، هامیلتونی برهم کنش سیستم به دست آمد که با استفاده از آن معادلات حرکت دامنه های احتمال و

در نهایت هامیلتونی موثر سیستم دو ترازه در تقریب موج چرخان محاسبه شد.

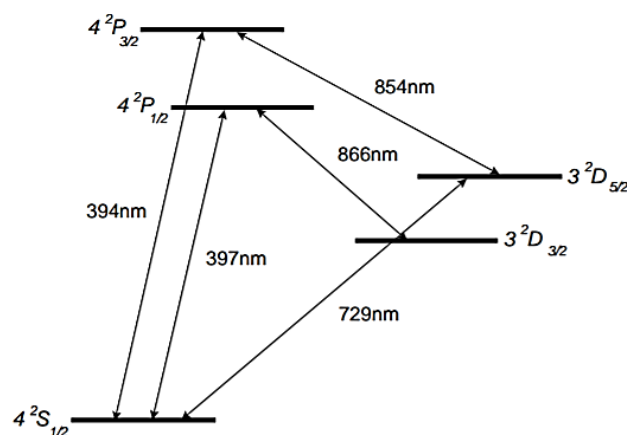
در ادامه به عنوان مثالی از برهم کنش اتم-میدان، به توضیح برهم کنش میدان لیزر با یون $^{40}\text{Ca}^+$ می پردازیم که همانند اتم دو ترازه که در بخش های قبلی توضیح دادیم تحت تابش لیزر بین ترازهای آن گذار اتفاق می افتد که چگونگی آن را شرح خواهیم داد.

۳-۵ برهم کنش لیزر با یون $^{40}\text{Ca}^+$

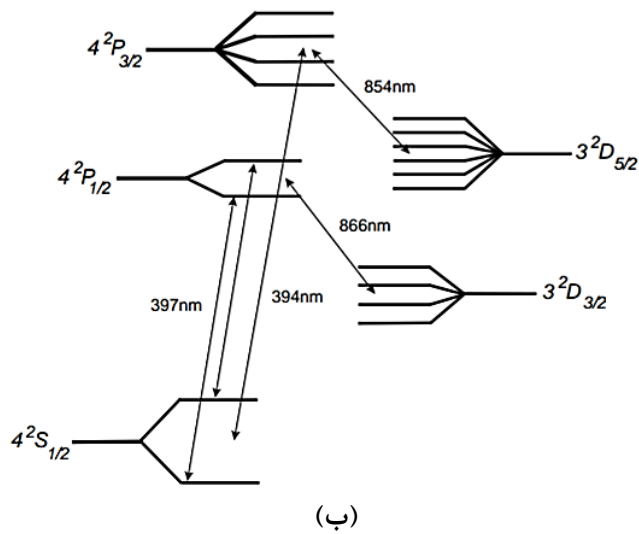
همانطور که قبل تر توضیح دادیم، کیوبیت واحد پایه ای اطلاعات کوانتومی می باشد که در واقع حالت کوانتومی کلی یک سیستم فیزیکی است که دارای دو حالت می باشد. چنین سیستمی قادر به ذخیره اطلاعات باینری است. یکی از گزینه ها برای ساخت کیوبیت ها، یون های به دام افتاده در چاه پتانسیلی تله می باشند که در آن ترازهای اتمی یون به تله افتاده نقش سیستم دو حالتی را دارند که تاکنون تله یونی یکی از موفق ترین گزینه ها برای انجام محاسبات کوانتومی بوده است [۱۸].

Ca^+ یک یون قابل گیراندازی است که پس از گیراندازی توسط تله یونی پنینگ، از ترازهای اتمی آن می توان به عنوان سیستم دو حالتی استفاده کرد.

در شکل ۳-۵-۱ ترازهای انرژی یون Ca^+ در غیاب میدان مغناطیسی و در حضور میدان مغناطیسی نشان داده شده است.



(الف)



شکل ۳-۵-۱: الف) ترازهای انرژی Ca^+ در غیاب میدان مغناطیسی. ب) ترازهای انرژی Ca^+ در حضور میدان مغناطیسی [۳۲].

مطابق شکل (الف) که ترازهای انرژی یون Ca^+ را در غیاب میدان مغناطیسی نشان می‌دهد، یک گذار دوقطبی مجاز $4^2S_{1/2} \rightarrow 4^2P_{1/2}$ با استفاده از لیزر ۳۹۷ nm صورت می‌گیرد که طول عمر تراز $4^2P_{1/2}$ است و سپس می‌تواند به هر یک از ترازهای $4^2S_{1/2}$ و $3^2D_{3/2}$ فروپاشی کند که طول عمر تراز $3^2D_{3/2}$ برابر ۱/۰۸ s می‌باشد. از آنجایی که این زمان طولانی است با استفاده از لیزر ۸۶۶ nm گذار $3^2D_{3/2} \rightarrow 4^2P_{1/2}$ ایجاد می‌شود.

اگر از لیزر ۳۹۴ nm استفاده کنیم، گذار $4^2S_{1/2} \rightarrow 4^2P_{3/2}$ صورت می‌گیرد که می‌تواند به تراز $4^2P_{3/2}$ فروپاشی کند که در اینصورت از لیزر ۸۵۴ nm برای جفت‌شدگی تراز $3^2D_{5/2}$ به تراز $4^2P_{3/2}$ استفاده می‌شود.

در حضور میدان مغناطیسی مطابق شکل (ب)، به دلیل اثر زمین و شکافته شدن سطوح، استفاده از لیزر پیچیده‌تر می‌شود. اینبار دو لیزر ۳۹۷ nm، چهار لیزر ۸۶۶ nm و یک لیزر ۸۵۴ nm نیاز داریم که با وجود اثر زمین، برای گذار $3^2D_{5/2} \rightarrow 4^2P_{3/2}$ تنها یک لیزر ۸۵۴ nm کافی است [۱۸ و ۳۲].

۳-۶ جمع بندی

در این پایان نامه، به بررسی رفتار کلاسیکی الکترون و یون در یک تله ی پنینگ پرداخته ایم. مسیر حرکت الکترون، یون های کلسیم $^{40}\text{Ca}^+$ و $^{197}\text{Au}^+$ را تحت تاثیر میدان های الکتریکی و مغناطیسی تله با برنامه نویسی ++C محاسبه و با نرم افزار Origin ترسیم کرده ایم که در این نمودارهای محصورسازی، سه حرکت هارمونیک محوری، سیکلو ترونی و مگنترونی نمایان بود. همچنین میدان های مناسب برای گیراندازی آنها، متناسب با ابعاد تله ی مفروض را بدست آورده ایم. در ادامه، گیراندازی یون در تله ی پنینگ را از دیدگاه کوانتومی و استفاده از حالات کوانتومی یون برای ساخت کیوبیت ها را مورد بررسی قرار دادیم و دیدیم که با استفاده از تحریک لیزری ترازهای انرژی یون به دام افتاده، می توان از آن به عنوان سیستم دو حالته جهت ساخت کیوبیت ها استفاده کرد. از این رو برخورد میدان تک مد با اتم دو ترازه را تحت دو تئوری نیمه کلاسیکی و کوانتومی توضیح دادیم و برای مثال، برهم کنش میدان لیزر با یون $^{40}\text{Ca}^+$ را به عنوان یک یون گیراندازی شده در تله ی پنینگ بررسی کردیم و ترازهای انرژی و گذارهای آن را تحت میدان مغناطیسی تله و تحریک لیزری نشان دادیم.

- [1] R. March, J. Todd, 2005, *Quadrupole Ion Trap Mass Spectrometry*, 165, second edition, WILEY, New Jersey.
- [2] S. Bohm, A. Enulescu, T. Fritioff, I. Orban, S. Tashenov and R. Schuch, 2007, First results from the Stockholm Electron Beam Ion Trap, *Journal of Physics*, 58, 303-306.
- [3] Lowell S. Brown and Gerald Gabrielse. (1986) "Geonium theory: Physics of a single electron or ion a Penning trap" *Rev.Mod.phys.*,1,58, pp 233.
- [4] I Marzoli, P Tombesi, G Ciaramicoli, G Werth, P Bushev, S Stahl, F Schmidt-Kaler, M Hellwig, C Henkel, G Marx, I Jex, E Stachowska, G Szawiola and A Walaszyk, 2009, "Experimental and theoretical challenges for the trapped electron quantum computer", *J. Phys. B: At. Mol. Opt. Phys.* Vol 42, 154010
- [5] B. B. Blinov, D. Leibfried, C. Monroe and D. J. Wineland, 2004, Quantum Computing with Trapped Ion Hyperfine Qubits, *Quantum Information Processing*, 3, 45-59
- [6] Hall D. S., 1997, Phd thesis, "Positrons, Antiprotons and Interactions for Cold Antihydrogen", Department of physics, Harvard University.
- [7] J. Mitchell Wells, Ethan R. Badman, and R. Graham Cooks, 1998, A Quadrupole Ion Trap with Cylindrical Geometry Operated in the Mass-Selective Instability Mode, *Anal. Chem.*, 3, 70, 438-444.
- [8] HANS G DEHMELT and WOLFGANG PAUL, 1989, THE NOBEL PRIZE IN PHYSICS for the development of the ion trap technique.
- [9] R.Ringle, G. Bollen, P. Schury, S. Schwarz, T. Sun, 2006, Octupolar excitation of ion motion in a Penning trap-A study performed at LEBIT, *International Journal of Mass Spectrometry*, vol 262, 33-44.
- [10] V.Yu. Kozlov, N. Severijns, D. Beck, M. Beck, S. Coeck, B. Delaur'e, A. Lindroth, S. Kopecky, P. Delahaye, F. Wenander, V.V. Golovko, I.S. Kraev, T. Phalet, 2006, The WITCH experiment: Completion of a set-up to investigate the structure of weak interaction with a Penning trap, *International Journal of Mass Spectrometry*, vol 251, 159-172.
- [11] Sven Sturm, Florian köhler and Günter Werth, 2015, The g-factor of highly charged ions, *Journal of Physics: Conference Series* 599.
- [12] Tristan Valenzueia Salazar, (2001), Diplomarbeit Von, "Collective oscillation of an electron cloud confind in a penning trap", Institut für Physik, Johannes Gutenberg-Universität Mains.

- [13] J.THROCK WATSON, O. DAVID SPARKMAN, 2007, *Introduction to Mass Spectrometry*, Fourth Edition, John Wiley & Sons, England.
- [14] R. Schuch, S. Tashenov, I. Orban, M. Hobein, S. Mahmood, O. Kamalou, N. Akram, A. Safdar, P. Skog, A. Solders and H. Zhang, 2010, The new Stockholm Electrom Beam Ion Trap (S-EBIT), *INTERNATIONAL SYMPOSIUM ON ELECTRON BEAM ION SOURCES AND TRAPS*, vol 5, Issue:12.
- [15] Bernd Schmidt, Klaus Wetzig, 2012, *Ion Beams in Materials Processing and Analysis*, Springer-Verlag Wien, New York Dordrecht London.
- [16] ANNE H. PAYNE and GARY L. GLISH, Tandem Mass Spectrometry in Quadruple Ion Trap and Ion Cyclotron Resonance Mass Spectrometers, *MS/MS in trapping instruments* page 109.
- [17] Eliades J. A., 2012, PhD thesis, "A Radio Frequency Quadrupole Instrument for use with Accelerator Mass Spectrometry: Application to Low Kinetic Energy Reactive Isobar Suppression and Gas-Phase Anion Reaction Studies", Department of Geology and Department of Physics (collaborative programme), University of Toronto.
- [18] Hamid Ohadi., (2008),PhD. thesis, "Single Ca⁺ ions in a Penning trap for Applications in Quantum Information Processing", Phys. Depart. London university.
- [19] C.H. Bennett and G. Brassard, "Quantum Cryptography: Public Key Distribution and Coin Tossing," *Computers, Systems, and Signal Processing*, pp. 175-179, 1984.
- [20] Feynman, "Simulating physics with computers," *International journal of theoretical physics*, vol. 21, pp. 467-488, 1982.
- [21] P. W. Shor, "Algorithms for quantum computation: discrete logarithms and factoring," *35th Annual Symposium on Foundations of Computer Science*, pp. 124-134, Santa Fe, NM , USA, 1994.
- [22] M.A. Nielsen, I.L. Chuang. (2010), *Quantum Computation and Quantum Information*, Cambridge University Press, New York.
- [23] W. Nagourney, J. Sandberg, H. Dehmelt. (1986) "Shelved optical electron amplifier: Observation of quantum jumps" *Phys. Rev. Lett.*, 26, 56, pp 2797.
- [24] J.I. Cirac, P. Zoller. (1995) "Quantum computations with cold trapped ions" *Phys. Rev. Lett.*, 20, 74, pp 4091.
- [25] S. Bose. (2003) "Quantum communication through an unmodulated spin chain" *Phys. Rev. Lett.*, 91(20):207901.

[26] A. Casaccino, S. Lloyd, S. Mancini, and S. Severini. (2009), "Quantum state transfer through a qubit network with energy shifts and fluctuations" *Int. J. Quant. Inf.*, 7(8):1417–1427.

[27] D. Tsomokos, M. Plenio, I. de Vega, and S. Huelga. (2008) "State transfer in highly connected networks and a quantum babinet principle". *Phys. Rev. A*, 78:062310.

[28] S. Weisner (1983). "Conjugate coding". *Association for Computing Machinery, Special Interest Group in Algorithms and Computation Theory*. 15: 78–88.

[29] S. Bose. "Quantum communication through spin chain dynamics: an introductory overview". *Contemp. Phys.*, 48(13–30):13, 2007.

[30] Marlan O. Scully and M. Suhail Zubairy, 1997, *Quantum Optics*, Cambridge University Press.

[۳۱] جی جی ساکورایی، ۱۳۸۹، مکانیک کوانتومی مدرن، دکتر مسعود علیمحمدی و دکتر حمیدرضا مشفق، چاپ هفتم، انتشارات دانشگاه تهران.

[32] Jenn Liam Kingston Koo., (2003), PhD. thesis, "Laser cooling and trapping of Ca⁺ ions in a Penning trap", Imperial College. London.

Abstract

The potential traps for trapping of the charged particles are one of the most conventional systems used for fundamental research and precise measurements on trapped charged particles. The Penning trap is a potential trap that with a static electric potential and a superimposed magnetic field can confine the charged particles in three dimensions.

These systems have applications such as study and measurement of the fundamental constant of the particles, energy states studies, study of particles decay, study of charged particles interaction and Quantum Information.

In this thesis, classical evolution of electron and ion in a Penning trap is studied. The trajectory of a electron, ${}_{20}^{40}\text{Ca}^+$ and ${}_{79}^{197}\text{Au}^+$ ions under electric and magnetic field of trap is calculated and plotted using a C++ programming. Also suitable fields for trapping they considering the geometry of the trap is obtained. Next, quantum states of such an ion in a Penning trap is studied to be used for a qubit construction.

Keywords: Potential trap, Penning trap, Trapping, Qubit, Quantum states.



Shahrood University of
Technology

Faculty of Physics and Nuclear Engineering

M.Sc. Thesis in Nuclear Physics

Study of ion in a Penning trap and it's quantum properties

By: Ayda Kaltehei

Supervisors:
Dr. Moslem Sohani
Dr. Morteza Rafiee

September, 2018